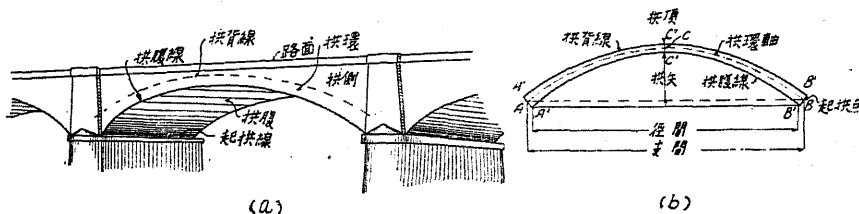


第七章 拱橋

策一節 總論

§ 701 拱各部の名稱 第701圖は鐵筋コンクリート拱橋を示したものであつて圖示せる各部名稱に付き簡単に説明せば次の如し。



第 701 圖

拱環	(arch ring)	荷重を下部構に傳へる曲桁 ($A''A''C''B''B'C'$)
拱環軸	(arch axis)	拱環の中心線 (ACB)
拱背線	(extrados)	拱環外側の曲線 ($A''C''B''$)
拱腹線	(intrados)	拱環内側の曲線 ($A'C'B'$)
拱腹	(soffit)	拱環の内面
拱頂 (crown)	拱環をなす曲桁の頂點 (C'') 又は拱環軸のなす曲線の頂點 (C)	
起拱點	(springing)	拱腹線の兩端 (A', B') 又は拱環軸の兩端 ($A B$)
起拱線	(springing line)	拱腹と下部構造との交りの線
徑間	(span)	起拱點間の距離 ($A'B'$) 又は (AB)
支間	(effective span)	起拱點間の距離 (AB)
拱矢	(rise)	起拱點を通る直線と拱頂との鉛直距離
拱側	(spandrel)	路面と拱背線との間の部分
拱側壁	(spandrel wall)	拱側の兩側に設けたる壁
拱側裏込	(spandrel filling)	拱側を填充する土砂又はコンクリート等の填充材料

§ 702 拱橋の種類 拱橋の重なる分類は次の如し。

1 拱の理論に依る分類。(鉢數に依る分類)

- イ、無鉢拱 hingeless arch 鉢を有せざる拱
- ロ、單鉢拱 one hinged arch 一つの鉢を有する拱
- ハ、二鉢拱 two hinged arch 二つの鉢を有する拱
- ニ、三鉢拱 three hinged arch 三つの鉢を有する拱

無鉢拱の應力は不靜定であつて、その理論に依りて明かなる如く(§ 709 参照)下部構造の移動を避けることが絶對的の必要條件である。従つて基礎軟弱なる箇所に於ては架設不可能である。已む得ず基礎良好ならざる箇所に之を築造する場合は基礎を充分強固なる構造とし、尙ほ且つ起拱點及拱頂に一時的の鉢を設け、基礎が充分に落着きたる後、一時的の鉢にコンクリートを填充する。基礎強固なれば無鉢拱は最も剛性に富み、且つ施工容易である。従つて現存せる鐵筋コンクリート拱橋の大部分は之に屬する。

三鉢拱の應力は靜定であつて基礎些少の移動のために無鉢拱の如くその内應力に著しき變化を生じない。従つて基礎軟弱なる箇所に利用して極めて有利であるが鉢數多く施工困難であり、且つその剛性に至りては到底無鉢拱に比肩するものでない。

二鉢拱、單鉢拱の應力は何れも不靜定であつて其の性質は無鉢拱と三鉢拱との中間に有る極めて不徹底な様式であるが、利用範圍よりすれば無鉢拱を第一とし、次に二鉢拱、三鉢拱は略同程度である。單鉢拱に至りては、日本は勿論、歐米に於てもその實例は極めて稀である。

2 拱側の構造に依る分類。

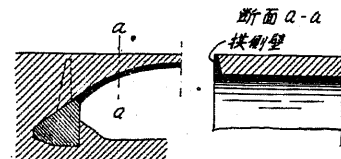
- イ、充側拱 fill spandrel arch (§ 703 参照)
- ロ、開側拱 open spandrel arch (§ 704 参照)

3 使用鐵筋に依る分類。

- イ、細筋式 small reinforcement system
- ロ、形鋼式 stiff reinforcement system

細筋式とは丸鋼、角鋼等の一般に使用せらるゝ鐵筋を使用したものであつて、此の様式中の代表的なものは 1876 年佛國のモニエー (monier) 氏の發明せるモニエー式である。モニエー式は拱背線、拱腹線に沿ふて丸鋼又は角鋼の主鐵筋を挿入し、之を副鐵筋及スターラップにて連結したものであつて、鐵筋コンクリート拱橋の大部は此の様式に屬する。形鋼式の内代表的なものは 1892 年オーストリアのメラン (melan) 氏の發明せるメラン式であつて、メラン式は山形(angle)の如き形鋼にて拱環の形狀をなせる簡単なる結構を鉢にて組立て、之を主鐵筋とするものである。

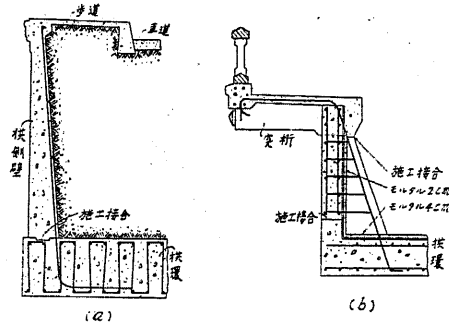
§ 703 充側拱は第 702 圖の如く路面と拱背線の間を土砂、或はコンクリートの類を以て填充したものであつて、拱矢、徑間共に小なる拱橋に應用し、填充材料の崩落を防止するため拱側壁を拱環の兩側に設ける。



第 702 圖

1 拱側壁は拱環に固定せる鐵筋コンクリート擁壁にして、其の高さに應じて第 703 圖

(a), (b) の如く突析式或は扶壁式とする。拱側壁は溫度變化、硬化收縮に備へる外、拱環の撓みに備へるため、拱頂と起拱點間に必ず一箇所以上の伸縮接合を設ける必要がある。徑間 15 m 以下の拱橋に於ては之を起拱點の直上に設くるも差支へない。徑

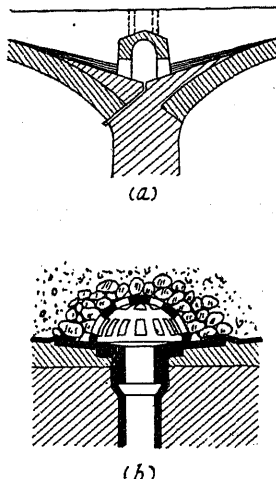


第 703 圖

間大なる場合に起拱點直上に伸縮接合を設くるときは、伸縮の度合甚だしきを以て彈性重心(§ 710 の 5 参照)を通る横軸と拱環軸の交點附近に伸縮接合を設ける。

2 拱側裏込。裏込材料は手近の土砂を使用する。手近の土砂不良にして締固め困難なれば砂及砂利を適量に混合して使用せば充分である。裏込の締固めは特に注意して施工し、之が沈下を未然に防止しなければならない。橋臺背面の土質悪

しき場合は拱側裏込が橋臺背面に向ひ押し出され、路面の沈下を來す虞れがあるから、第702圖點線に示すが如き簡単なる擁壁を起拱點近くに設け、裏込の移動を防止する。拱矢小なる場合には、拱側裏込にセメント量少なき（例へば配合1:4:8）コンクリートを使用する。



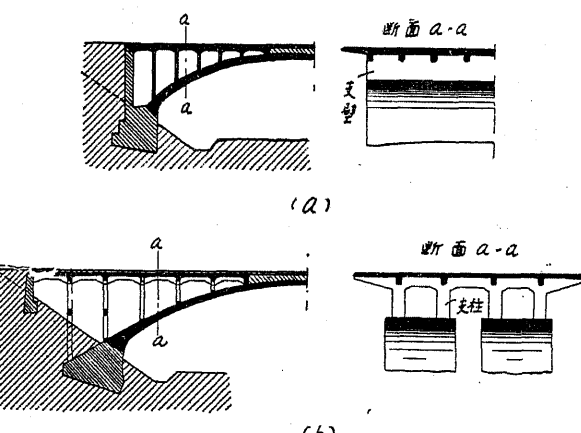
第 704 圖

3 耐水工及排水施設。拱環の上面及拱側壁の内面にはモルタル又はアスファルトの類を以て第703圖の如く耐水工を施す。路面に排水工を設くるは勿論であるが、裏込中に浸透したる水を排水するために第704圖の如く起拱點近くに排水口を設ける。

§ 704 開側拱は第705圖の如く拱環上に支壁又は支柱を建て之に依りて路面を支へたる拱橋である。

1 特長。開側拱には次の如き利點がある。

1. 拱側裏込なきため充側拱に比し死荷重が小なること。2. 死荷重小なるため基礎地盤に及ぼす壓力も又小であること。3. 拱側裏込なきため拱環の幅を橋幅と略同一にする必要なく、必要に應じ幅狭き數條の拱環を使用し得ること。4. 上記特長を有するため徑間大なる拱橋に於ては充側拱に比して經濟的であること。5. 充側拱

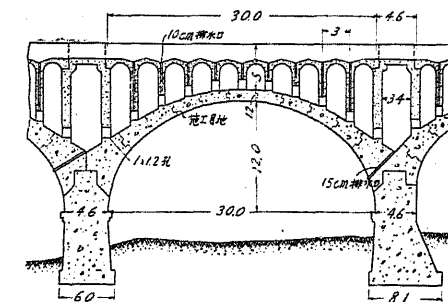


第 705 圖

に比して外觀が優美であること。

従つて開側拱は拱矢特に高きもの又は徑間約30m以上の拱橋に應用せられる。

2 支壁及支柱は路面上の活荷重及床構（floor system）の死荷重を拱環に平等に分布（横斷の方向に）傳達せしむるものであるから、拱環幅廣き場合は第705圖（a）の如く支壁を設け拱環幅狭き場合は第705圖（b）の如く支柱を設ける。支柱を設ける場合は、支柱下端に礎段（footing）を設け、拱環へ荷重を平等に分布せしめる。支壁及支柱は共に短柱（strut）として設計し、その最小厚又は最小幅は30cm以上とする。支壁及支柱の主鐵筋は充分拱環中に埋込む。第706圖は支壁を有する開側拱の中央縦断圖であつて支壁下部に在る1m・1.2mの孔は拱環検査の場合に於ける通路にして又拱環上の排水口を兼ねたものである。



第 706 圖

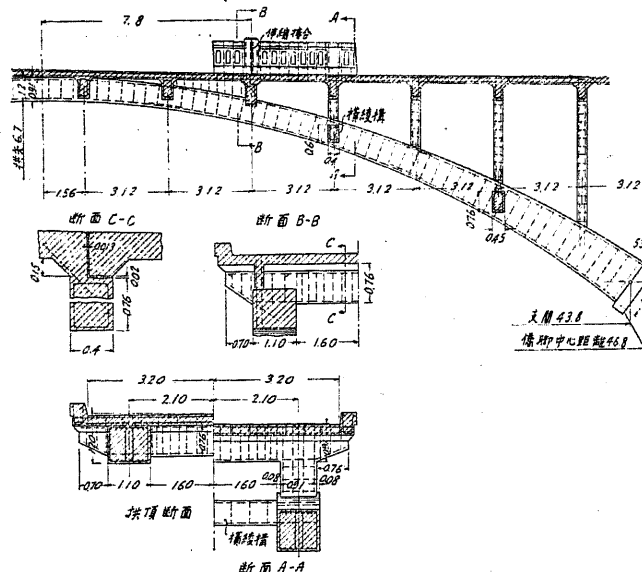
3 床構（floor system）は第706圖

圖の如く小拱とするか又は第707圖の如く連續桁とするかの2様である、何れの場合に於ても拱環の撓みに備へるため、溫度變化に依る拱環の變位最小なる箇所、即ち彈性重心（§ 710 の 5 参照）を通る横軸と拱環軸の交點附近に、伸縮接合を設ける。橋脚又は橋臺直上に伸縮接合を設くるときは、之に接する支壁又は支柱が多大の應力を受けて危險である。構造は第707圖に示す如く摺動承構とする。

4 耐水工及排水施設。拱環の上面には普通モルタルを塗布して耐水性とし、橋脚上に第706圖の如く排水口を設ける。

§ 705 拱環の配置 第702圖又は第703圖（a）の如く拱環が一條の曲版より成るものを連續拱環（barrel rib）又は連續拱肋と云ひ、第703圖（b）又は第707圖の如く拱環が二條以上の曲版或は曲柄より成るものを分離拱環（separated rib）又は不連續拱肋と云ふ。

一般に充側拱及比較的徑間小なる開側拱に於ては連續拱環を用ひ、徑間大なる



第 707 圖

開側拱に於ては分離拱環を用ひる。分離拱環は橋幅狭き場合は二條、橋幅大なる場合は三條又は四條とする。

分離拱環は

1. 軌道を有するが如き道路橋に於ては軌道を支へる拱環と然らざる

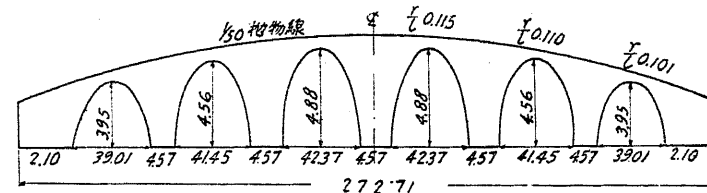
拱環とを全然別に設計し得て、連續拱環に於けるが如く橋上の最大荷重に依り拱環全幅の寸法を決定するが如き缺點を除き得ること。

2. 拱環厚を増大するも幅狭きため連續拱環に比して工費増大せざること、等の利點がある。

分離拱環にして幅狭き場合は横縫構(lateral bracing)を必要とする。横縫構は第708圖に示す如く strut のみを用ひ、斜材を省略するも差支へない。

§ 706 径間と拱矢

1 径間の選定。河川流量其の他に依り橋脚數を決定し、而も地質又は河川の性質上橋脚位置を自由に選定し得る場合に於ては、路面と各径間の拱頂との間隔が略等しくなる様にし、各径間に於ける拱矢(r)の支間(l)に對する比(r/l)は同一にするか又は河心に近き径間程 r/l を漸次大にする。斯くする時は路面が一般に抛物線形をなすため径間長は河心に向ひ漸次増大し、橋梁の外觀を優美ならしめ、且つ径間長の變化急激ならざるため、橋脚に大なる偏心力を受くる虞なく經濟上の困難を伴ふこともない。第708圖は新潟市萬代橋の径間配列を示したも



第 708 圖

のである。

勿論河川に低水敷、洪水敷の區別ある場合、又は河川の横断形状不規則なる場合は上記の如き徑間の配列は困難であるが、上記原則に重きを置いて徑間の配列を適當に選定する。

2 拱矢。拱の起拱點はその高さを最大洪水面以上に、舟行ある河川に於ては徑間中央を船舟が自由に通過し得る程度に、跨線橋の場合は鐵道定規に支障なき程度に定め、路面の高さは架橋地點の地形、取付道路の勾配等に支配される、從て拱矢は必然的に定まり設計者の自由にならない場合が頗る多い。然し拱矢が之等の外部條件に支配されることはなく、自由に定め得る場合は拱矢の支間に對する比を次の範圍に定むるが經濟である。

$$\frac{r}{l} = \frac{1}{4} \sim \frac{1}{6} \quad \text{但し } r = \text{拱矢} \quad l = \text{支間}$$

r/l を上記限度より小にせば水平推力(horizontal thrust) 及溫度應力が次第に増加するばかりでなく、橋臺及橋脚の寸法を増大して多大の工費を要するに至る。

鐵筋コンクリート拱橋に於ては $\frac{r}{l} = \frac{1}{10}$ を限度とし、 $\frac{r}{l}$ が右の限度以下となるときは他の様式の橋梁としなければならない、普通鐵筋コンクリート拱橋に使用せらるゝ $\frac{r}{l}$ の範圍は $\frac{1}{2} \sim \frac{1}{10}$ である。

§ 707 拱環の形狀

1 形狀決定の原則。拱環形狀の適否は工費、並に橋梁の耐久力に多大の影響がある、從て形狀を任意に定めることは出來ない。

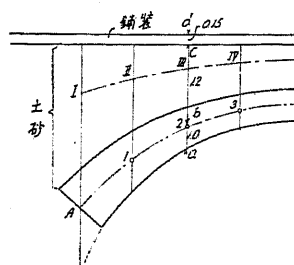
鐵筋コンクリート拱環は石拱の場合と異り、拱環の軸(arch axis) が死荷重のみに依る壓力線に一致する様に定める。

2 拱橋の死荷重。

(イ) 充側拱の死荷重は拱環単位幅に付いて測定し、拱環外に突出せる床構、拱側壁、欄干等の重量は拱環の全幅に平等に分布するものと假定する。

任意の點に於ける拱の水平単位長に對する死荷重は其の點を通る鉛直線に沿ひて測定する。

例へば第709圖の(2)點に於ける死荷重は次の如くして算出する。



第 709 圖

$$w = \text{拱環材料の単位重量} = 2400 \text{ kg/m}^3$$

$$w_1 = \text{拱側裏込の単位重量} = 1600 \text{ kg/m}^3$$

$$w_2 = \text{鋪装材料の単位重量} = 2200 \text{ kg/m}^3$$

$$w' = (2) \text{ 点に於ける拱側壁単位長の重量}$$

$$w'' = \text{欄干単位長の重量}$$

$$w''' = \text{拱環外に突出せる床構単位長の重量}$$

$$B = \text{拱環幅}$$

$$w_3 = \frac{2(w' + w'' + w''')}{B}$$

$$q_2 = (2) \text{ 点に於ける拱橋単位長の重量}$$

尚ほ第709圖に於て $ab = 1 m$, $bc = 1.2 m$, $cd = 0.15 m$ にして $w_3 = 350 \text{ kg/m}$ と假定すれば

$$q_2 = 1 \cdot w + 1.2 \cdot w_1 + 0.15 \cdot w_2 + w_3 = 2400 + 1920 + 330 + 350 = 5000 \text{ kg/m}$$

換算荷重線(reduced load contour) 充側拱任意の點の死荷重を見出すには豫め換算荷重線を求めておけば一層便利である。

第709圖の A , 1 , 2 , 3 , C 点に於ける拱側裏込、鋪装等の単位重量を拱環の単位重量と等しいものと見做して算出せる之等の高さの和を拱背線上に取り、之を I , II , III , IV , V とせば、之等の點を結ぶ線 $IIIIVV$ を換算荷重線と云ふ。拱橋任意の點の死荷重は拱腹線と換算荷重線との鉛直間隔に拱環の単位重量を乗じたものである。

例へば第709圖(2)點に於ける換算荷重線の位置 III は次の如くして定める。

$$h_1 = \text{土砂の換算高} = \frac{bc \cdot w_1}{w} = \frac{1.2 \cdot 1600}{2400} = 0.8 \text{ m}$$

$$h_2 = \text{鋪装の換算高} = \frac{cd \cdot w_2}{w} = \frac{0.15 \cdot 2200}{2400} = 0.1375 \text{ m}$$

$$h_3 = w_3 \text{ の換算高} = \frac{w_3}{w} = \frac{350}{2400} = 0.1458 \text{ m}$$

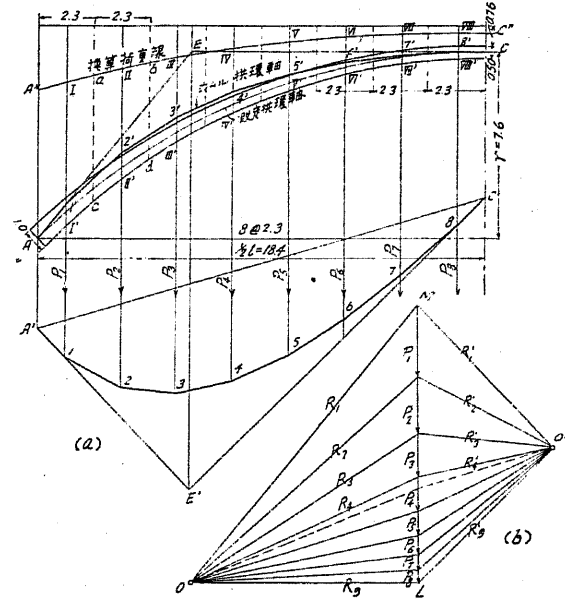
$bIII = h_1 + h_2 + h_3 = 1.0833 \text{ m}$ として III の位置を定める。次に(2)點に於ける拱橋死荷重 q_2 は

$$q_2 = (1.0833 + 1.00) \cdot 2400 = 5000 \text{ kg/m}$$

(ロ) 開側拱の死荷重も又鉛直線に沿ひて測るのであるが鋪装、欄干、床構の重量は支壁又は支柱に集中して、支壁又は支柱の中心線と拱環軸との交點に鉛直に作用し、作用點の位置に於て拱環の全幅に平等に分布するものと假定する。

3 圖式に依る拱環軸の決定。拱環の死荷重に依る壓力線を圖式に依りて求め之を拱環軸とする。(5)に述ぶる方法に依りて先づ拱環の大體の形狀を定め、§ 715 に述ぶる方法に依りて拱環厚を假定したる後、第710圖に示す如く拱の半徑間を任意の水平距離(第710圖にては 2.3 m)に等分し、充側拱なれば(2)

に述べた方法に依りて換算荷重線を求む。然るときは一區割の重量は其の區割の重心を通る鉛直線の長と其の區割の幅と拱環単位重量との積である。例へば區割 $abdc$ の重量は $\frac{1}{2} \cdot 2.3 \cdot 2400$ である。各區割の幅が同一である場合は、重心を通る鉛直線の長さを以てその區割の重量を代表せしむるも壓力線の形狀に變る。



第 710 圖

化はない。

第710圖に依りて壓力線の圖法を説明する。各區割の重量を代表する II' , III' , ..., $VIII'$ を夫々 P_1, P_2, \dots, P_8 にて表し、之を (b) 圖に示す如く ML なる鉛直線に取り、拱の左半徑間を探りたるときは ML 線の右側に極 O' を任意に定め、 A 点を通る鉛直線上の任意の點 A' より R'_1 に平行に $A'1$ を引きて P_1 上に 1 を求め、次に 12 を R'_2 , 23 を R'_3 , ..., 8C' を R'_9 に平行に引きて力の多角形 $A'12\dots8C'$ を作る。次に $A'1$ 及 $8C'$ を延長しその交點を E' とす、 E' を通る鉛直線と C を通る水平線との交點を E とし AE を結ぶ。次に (b) 圖に於て L を通る水平線と M を通り EA に平行なる線との交點を O とす、然るときは O は求むる壓力線の極である。即ち A より R'_1 に平行線を引き P_1 との交點を $1'$ とし $1'2'$ を R'_2 に、 $2'3'$ を R'_3 に ..., $8'C'$ を R'_9 に平行に引くときは壓力線 $A1'2'\dots8'C'$ 即ち拱環軸を求め得る。

本圖式解法の検定。 O' より $A'12\dots8C'$ に平行線を引き ML との交點を a とせば a を通る AC への平行線は O を通らなければならぬ。

當初假定せる拱環軸と上記の方法に依りて求めたる壓力線とが甚だしく相違せる場合には、求めたる壓力線を軸とする拱環を基礎として、上記の方法を再び繰返へして設計に使用する拱環軸の形狀を定める。

開側拱の場合は支壁又は支柱が各區割の重心と一致する様に各區割を定める、從て各區割の幅は同一とする必要はない。又換算荷重線を應用することが出來ぬから P_1, P_2, \dots 等は各區割の實重とすればよい。

4 拱環軸の理論形狀。

(イ) 理論形狀。拱橋の死荷重が第711圖 (a) の如き連續曲線状に變化するものと假定して拱環軸を定める。

今 q_c = 拱頂に於ける拱橋単位長の死荷重

q_s = 起拱點に於ける拱橋単位長の死荷重

q = 拱頂より $\frac{1}{4}l$ だけ離れたる點の死荷重

$$m = \frac{q_s}{q_c} \quad l = \text{支間} \quad l_1 = \frac{1}{2}l$$

r = 拱矢

y' = 拱頂より $\frac{1}{4}l$ だけ離れたる點に於ける拱環軸の縦距 (原點は拱頂とす)

とし、死荷重は公式701の如く變化するものと假定すれば

$$q = q_c \left\{ 1 + \frac{y'}{r} (m-1) \right\} \dots (701)$$

拱環の方程式は次の如くなる。

$$\begin{aligned} y' &= \frac{r}{m-1} (\text{hyper. cos } k - 1) \\ k &= \log(m + \sqrt{m^2 - 1}) \\ \text{又は hyper. cos } k &= m \\ m &= \frac{q_s}{q_c} \end{aligned} \quad (702)$$

(ロ) m の値。公式702に示す

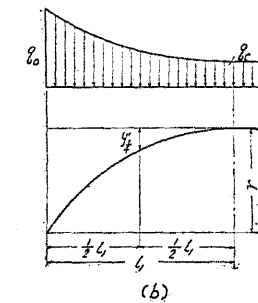
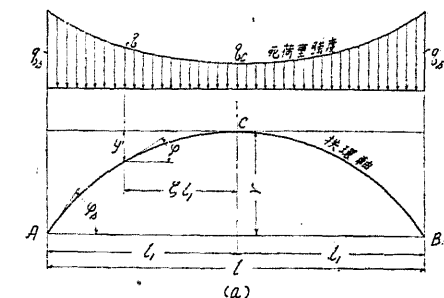
如く m の値は起拱點の死荷重を拱

頂の死荷重にて除したものである。起拱點及拱頂の死荷重は單位長に付いて算出する。開側拱に於ける支壁又は支柱の重量は其の兩側に平等に分布するものと假定して死荷重を定める。開側拱の拱頂附近の死荷重分布状況は比較的不規則である、從て拱頂の實死荷重は拱環形狀決定に妥當でない故に、起拱點及拱頂の實死荷重に依る m の値を用ひ、公式702又は第701表に依りて支間の $1/4$ 點の拱環軸の縦距 $y'_{1/4}$ を求め、之を用ひて公式703に依りて m の値を算出する。

(ハ) 第711圖 (b) 參照。

$$m = \frac{1}{2} \left(\frac{r}{y'_{1/4}} - 2 \right)^2 - 1 \dots (703)$$

(ハ) 拱環軸の切線が水平となす角 (ϕ) (第711圖 (a) 參照)



第 711 圖

第 701 表 $\frac{y'}{r}$ の値 (公式 702 及第 712 圖 (b) 參照)

格點	起卦點	0	1	2	3	4	5	6	四分の 一 點	7	8	9	10	11	12	卦頂
		0	1	2	3	4	5	6	四分の 一 點	7	8	9	10	11	12	卦頂
1,000	1,000	0,8403	0,6944	0,5625	0,4444	0,3403	0,2500	0,1736	0,1111	0,0625	0,0278	0,0070	0			
1,347	1,000	0,8331	0,6831	0,5493	0,4312	0,3284	0,2400	0,1660	0,1059	0,0594	0,0264	0,0066	0			
1,756	1,000	0,8256	0,6714	0,5350	0,4179	0,3163	0,2300	0,1584	0,1007	0,0563	0,0249	0,0062	0			
2,240	1,000	0,8180	0,6595	0,5223	0,4044	0,3042	0,2200	0,1508	0,0955	0,0532	0,0235	0,0059	0			
2,814	1,000	0,8101	0,6473	0,5085	0,3908	0,2920	0,2100	0,1432	0,0903	0,0502	0,0221	0,0055	0			
$\frac{s}{\sqrt{d}}$	3,500	1,000	0,8019	0,6348	0,4944	0,3771	0,2798	0,2000	0,1357	0,0852	0,0472	0,0208	0,0052	0		
=	∞															
4,325	1,000	0,7335	0,6221	0,4801	0,3532	0,2675	0,1900	0,1282	0,0802	0,0443	0,0194	0,0048	0			
5,321	1,000	0,7849	0,6090	0,4656	0,3491	0,2552	0,1800	0,1208	0,0751	0,0413	0,0181	0,0045	0			
6,536	1,000	0,7758	0,5955	0,4507	0,3349	0,2428	0,1700	0,1133	0,0701	0,0384	0,0168	0,0041	0			
8,031	1,000	0,7664	0,5816	0,4356	0,3205	0,2303	0,1600	0,1060	0,0652	0,0356	0,0155	0,0038	0			
9,889	1,000	0,7567	0,5673	0,4200	0,3059	0,2177	0,1500	0,0986	0,0603	0,0327	0,0142	0,0035	0			

第 702 表 $\frac{W}{r}$ の値 (公式 705 及第 712 圖 (a) 參照)

格點	起卦點	0	1	2	3	4	5	6	四分の 一 點	7	8	9	10	11	12	卦頂
		0	1	2	3	4	5	6	四分の 一 點	7	8	9	10	11	12	卦頂
1,000	0,5000	0,4583	0,4167	0,3750	0,3333	0,2917	0,2500	0,2083	0,1667	0,1250	0,0833	0,0417	∞			
1,347	0,4743	0,4384	0,4015	0,3638	0,3254	0,2864	0,2466	0,2064	0,1657	0,1245	0,0832	0,0417	∞			
1,756	0,4503	0,4194	0,3869	0,3529	0,3176	0,2810	0,2432	0,2044	0,1647	0,1241	0,0830	0,0416	∞			
2,240	0,4279	0,4013	0,3727	0,3421	0,3097	0,2756	0,2397	0,2023	0,1636	0,1236	0,0828	0,0416	∞			
2,814	0,4070	0,3841	0,3589	0,3316	0,3019	0,2700	0,2360	0,2001	0,1624	0,1231	0,0827	0,0416	∞			
$\frac{s}{\sqrt{d}}$	3,500	0,3872	0,3676	0,3456	0,3211	0,2941	0,2644	0,2323	0,1978	0,1611	0,1226	0,0826	0,0416	∞		
=	∞															
4,324	0,3686	0,3518	0,3326	0,3107	0,2882	0,2588	0,2285	0,1955	0,1599	0,1221	0,0824	0,0415	∞			
5,321	0,3510	0,3366	0,3200	0,3006	0,2783	0,2531	0,2246	0,1932	0,1585	0,1215	0,0823	0,0414	∞			
6,536	0,3342	0,3221	0,3076	0,2905	0,2704	0,2472	0,2206	0,1905	0,1571	0,1229	0,0822	0,0413	∞			
8,031	0,3182	0,3080	0,2956	0,2806	0,2625	0,2413	0,2164	0,1875	0,1557	0,1204	0,0820	0,0413	∞			
9,889	0,3030	0,2944	0,2858	0,2706	0,2546	0,2352	0,2121	0,1845	0,1542	0,1198	0,0817	0,0413	∞			

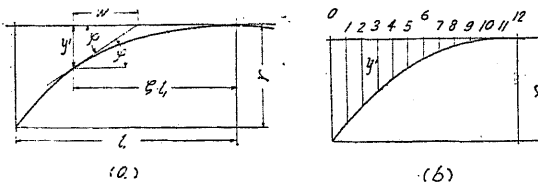
第七章 拱橋

第一節 橋

$$\left. \begin{array}{l} \text{任意の點に於て} \quad \tan \varphi = \frac{rk}{l_1(m-1)} \text{hyper. sin } \zeta k \\ \frac{1}{4} \text{點に於て} \quad \tan \varphi_{\frac{1}{4}} = \frac{rk}{l_1(m-1)} \sqrt{\frac{m-1}{2}} \\ \text{起拱點に於て} \quad \tan \varphi_s = \frac{rk \sqrt{m^2-1}}{l_1(m-1)} \end{array} \right\} \dots\dots\dots(704)$$

である。又第 712 圖 (a) に於て $\tan \varphi = -\frac{y'}{W}$ であつて

$$W = \frac{l_1}{k} \cdot \frac{\text{hyper. cos } \zeta k - 1}{\text{hyper. sin } \zeta k} \dots\dots\dots(705)$$



第 712 圖

m の種々なる値に對する公式 702 及 705 の y' 及 W の値を拱矢 r にて割たる値を表記せば、第 701 表及第 702 表の如

し。

(註) 公式 702 乃至 705 に於て

$$\text{hyper. sin } \zeta k = \frac{e^{\zeta k} - e^{-\zeta k}}{2} \quad \text{hyper. cos } \zeta k = \frac{e^{\zeta k} + e^{-\zeta k}}{2}$$

$$e \doteq 2,71828 \quad e^{-1} \doteq 0,36788$$

であつて、之等の値は林圭一氏著 Fünfstellige Tafeln der Kreis- und Hyperbelfunktions に依りて求める。計算實例は § 719 を参照。

5 拱環の近似形狀。開側拱に於けるが如く死荷重が拱の全徑間に亘り略等しければ拱環の形狀は二次拋物線形に近く、第 711 圖に於て C 點を原點に採れば $y' = -\frac{4r}{l_1^2} (\zeta k)^2$ となる。又充側拱の如く死荷重が拱頂より起拱點に向ひ甚だしく増加する場合に於ける拱環は拱頂附近に於て扁平にして起拱點に近づくに従て急傾斜の曲線となる。即ち三次拋物線、三心圓、橢圓形に近き形狀となる。

6 結論。一般に拱環の形狀は圖式に依りて定めたるものか又は公式 702 に依りて定めたるものを使用し、近似形狀は圖式解法に依る場合の假定拱環とするものである。

第二節 無鉸拱の理論

§ 708 記號及符號

1 記號。(第 713 圖参照)

l = 支間

r = 拱矢

X = 任意の斷面 D の横距

Y = 任意の斷面 D の縦距

P = 下向の鉛直荷重

a = P と左支點 A との横距

V_A, V_B = 夫々 A, B 點の鉛直反力

H_A, H_B = 夫々 A, B 點の水平推力

M_A, M_B = 夫々 A, B 點の彎曲率

M_X = A 點より X なる距離に於ける任意の斷面 D の彎曲率

M_s = 拱を B 點に於て固定し A 點に於て自由なる突桁と見做したる場合

に於ける任意の斷面 D の彎曲率

N_X = 任意の斷面 D の軸壓力

S_X = 任意の斷面 D の剪力

A_X = 任意の斷面 D の斷面積

I_X = A_X の二次率

E_c = コンクリートの彈性係数

φ_X = 任意の斷面 D の中心角 (A_X が鉛直線となす角)

Δl = 軸壓力及彎曲率に因る A 支點の水平變位 = $\Delta_1 l + \Delta_2 l$

$\Delta_1 l$ = 軸壓力に因る A 點の水平變位

$\Delta_2 l$ = 彎曲率に因る A 點の水平變位

$\Delta\varphi$ = A 點の角變位

Δr = 軸壓力及彎曲率に依る A 點の鉛直變位 = $\Delta_1 r + \Delta_2 r$

$\Delta_1 r$ = 軸圧力に因る A 点の鉛直変位

$\Delta_2 r$ = 曲率に因る A 点の鉛直変位

ds = 拱環の一分格長

(註) 拱任意の點の断面とは其の點に於ける拱環軸の切線に直角なる断面 (normal section) を意味す。

2 符号。

上向の鉛直力 (-) 内側に向ふ水平力 (-) とする。
下向 (+) 外側 (+)

拱環の上側に張應力を生ずる曲率 (-) とする。
下側 (+)

拱環の軸を短縮せしむるが如き水平変位 (+) とする。
伸長 (-)

支點 A を上昇せしむるが如き鉛直変位 (+) とする。
下降 (-)

§ 703 不静定値

1 反力。第 713 圖の如き荷重状態の拱が平衡状態に在れば鉛直力及水平力の

代数和は各々の零なる條件に依り

$$\begin{aligned} V_A &= P - V_B \\ H_A &= -H_B \end{aligned} \quad \dots \dots \dots (706)$$

2 曲率。第 713 圖の如き荷重状態の拱が平衡状態に在れば總ての外

力に依る任意の點の力率の代数は零である。今力率の中心を B 支點に採れば

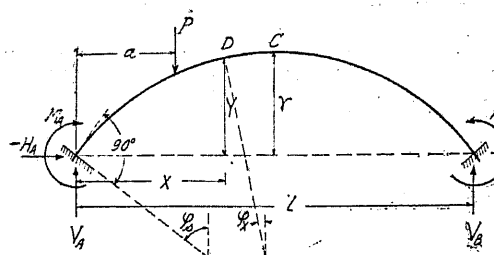
$$M_A + V_A l - P(l-a) + M_B = 0$$

$$M_A = P(l-a) - M_B - V_A l \quad \dots \dots \dots (707)$$

任意の點 D の曲率 M_x は

$$M_x = M_A + V_A X + H_A Y - P(X-a)$$

である、然るに $-P(X-a)$ は B 點を固定點とせる突術の D 點に於ける曲率に等しい故に之を M_s と置けば



第 713 圖

$$M_x = M_A + V_A X + H_A Y + M_s \dots \dots \dots (708)$$

となる。

3 不静定値。公式 706 乃至 708 に於て M_A , V_A , H_A を求め得れば拱任意の點の曲率及支點反力を容易に算出し得る。此の M_A , V_A , H_A は弾性理論に依らなければ算定し得ない値であつて、之れを不静定値 (statically indeterminate value) と云ふ。

§ 710 不静定値 M_A , V_A , H_A の算定

1 假定と算定順序。次の假定に基き M_A , V_A , H_A を算定す。

假定 (1) 荷重又は温度應力を受くるも拱の支間長に變化を生ぜざるものとす。即ち拱の支點は水平及鉛直の変位をなさざるものと假定する。

假定 (2) 荷重又は温度應力を受くるも拱の起拱點には角変位を生ぜざるものと假定する。

算定順序 拱の一支點 (例へば第 713 圖の A 支點) のみが自由に動き得るものとし、軸圧力及曲率に因る A 支點の鉛直及水平変位を各別に求め各々その代数和を零と置く。

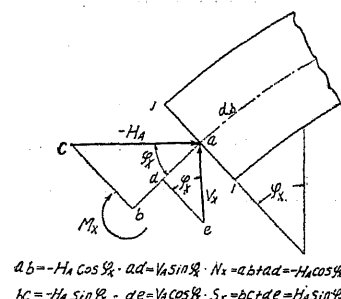
次に自由に動き得る支點の角変位を求め之れを零と置く。

$$\left. \begin{aligned} \text{即ち} \quad \Delta l &= \Delta l + \Delta_2 l = 0 \\ \Delta r &= \Delta_1 r + \Delta_2 r = 0 \\ \Delta \varphi &= 0 \end{aligned} \right\} \quad \dots \dots \dots (709)$$

公式 709 の三方程に依りて三つの未知数 M_A , V_A , H_A を求める。

2 軸圧力に因る左支點 A の水平及鉛直変位 (Δl 及 Δr)

第 713 圖に於ける拱環中の任意の断面 D には水平推力 H_A 及鉛直剪力 $V_x = V_A - P$ (P が D 點の右に在るときは $V_x = V_A$) が第 714 圖の如く断面の中心に作用し、同時に曲率 M_x が作用するものである。 H_A 及 V_x に因る拱の変位を算定するために此れ等の力を断面に直角なるものと、平行なるものとに分割する。然るときは H_A 及 V_x の断面に直角なる分力の和は軸圧力 N_x (normal thrust) であり、平行なる分力の和は剪力 S_x である。第 714 圖 1-1 を拱



第 714 圖

環任意の断面(第 713 図の D 点)とせば軸圧力及剪力の値は

$$\begin{aligned} N_x &= V_x \sin \varphi_x - H_A \cos \varphi_x \\ S_x &= V_x \cos \varphi_x + H_A \sin \varphi_x \end{aligned} \quad \dots \dots \dots (710)$$

である。尚ほ $V_x \sin \varphi_x$ の値は一般に小であるから之を無視せば

$$N_x = -H_A \cos \varphi_x \quad \dots \dots \dots (710a)$$

となる。次に剪力 S_x に因る拱の變位

は極めて微小であるから之を無視し、拱の左支點 A が自由に動き得るものと假定して A 点の軸圧力に因る水平變位 ($\Delta_1 l$) 及鉛直變位 ($\Delta_1 r$) を求れば次の如し。

$$\Delta_1 l = \int_0^l \frac{N_x}{E_c A_x} \cos \varphi_x ds \quad \dots \dots \dots (711)$$

$$\Delta_1 r = \int_0^l \frac{N_x}{E_c A_x} \sin \varphi_x ds \quad \dots \dots \dots (712)$$

(註) 公式 711 及 712 の説明。拱を n 個の小分格に分ち其の長さを ds_1, ds_2, \dots, ds_n とし、今任意の點の一分格長を ds とし、その分格に於ける断面積を A_x 、之に作用する軸圧力を N_x とし、 A_x の単位面積に作用する軸圧力強度を σ_0 とせば、 $\sigma_0 = \frac{N_x}{A_x}$ である。フック氏の法則(hook's law)に依り σ_0 のために分格長 ds が短縮する量 $\Delta_1 ds = -\frac{\sigma_0}{E_c} ds = -\frac{N_x}{E_c A_x} ds$ である(一分格内に於ては断面積、軸圧力共に等しいものと假定す)

第 715 図の實線は短縮前の形状、點線は短縮後の形状とす、即ち 1 點が 1' 點に移動したとせば $1-1' = \Delta_1 ds$ で

第 715 図 ある。此の $\Delta_1 ds$ を水平と鉛直の方向とに分ち

$$\Delta_1 dx = \text{水平變位} (1-1') \quad \Delta_1 dy = \text{鉛直變位} (1'-1'') \quad \text{とせば}$$

$$\Delta_1 dx = \Delta_1 ds \cos \varphi_x = -\frac{N_x}{E_c A_x} \cos \varphi_x ds \quad \dots \dots \dots (713)$$

$$\Delta_1 dy = \Delta_1 ds \sin \varphi_x = -\frac{N_x}{E_c A_x} \sin \varphi_x ds \quad \dots \dots \dots (714)$$

である。今固定支點 B に接する分格 ds_1 の水平變位を $\Delta_1 dx_1$ 鉛直變位を $\Delta_1 dy_1$ とせば此

の分格の左端は B 點に對し水平に $\Delta_1 dx_1$ 鉛直に $\Delta_1 dy_1$ だけ移動す、從て分格 ds_1 の左の總ての分格も又 B 點に對し水平に $\Delta_1 dx_1$ 鉛直に $\Delta_1 dy_1$ だけ移動する。

次に ds_1 に接する分格 ds_2 の水平變位を $\Delta_1 dx_2$ 鉛直變位を $\Delta_1 dy_2$ とせば、前同様分格 ds_2 の左の總ての分格は水平及鉛直に夫々 $\Delta_1 dx_2, \Delta_1 dy_2$ だけ移動す、今分格 ds_1 及 ds_2 のみに之等の變位が生ずるものとせば、分格 ds_2 の左の總ての分格は第 716 圖の如く水平に $\Delta_1 dx_1 + \Delta_1 dx_2$ 鉛直に $\Delta_1 dy_1 + \Delta_1 dy_2$ だけの移動をなす。

今拱の全分格に水平及鉛直の變位が起るときは自由支承と假定せる A 支點の水平及鉛直變位は前同様にして

$$\Delta_1 l = \Delta_1 dx_1 + \Delta_1 dx_2 + \dots + \Delta_1 dx_n = \sum_1^n \frac{N_x}{E_c A_x} \cos \varphi_x ds = \int_0^l \frac{N_x}{E_c A_x} \cos \varphi_x ds$$

$$\Delta_1 r = \Delta_1 dy_1 + \Delta_1 dy_2 + \dots + \Delta_1 dy_n = \sum_1^n \frac{N_x}{E_c A_x} \sin \varphi_x ds = \int_0^l \frac{N_x}{E_c A_x} \sin \varphi_x ds$$

である。これ即公式 711 及 712 である。

3 曲率による左支點 A の水平及鉛直變位 ($\Delta_2 l$ 及 $\Delta_2 r$)

拱環材料等質にして、中立軸が断面の重心に在るものと假定し、曲率に因る左支點 A の水平及鉛直變位を求むれば次の如し。

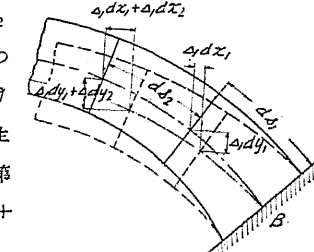
$$\Delta_2 l = -\int_0^l \frac{M_x Y}{E_c I_x} ds \quad \dots \dots \dots (715)$$

$$\Delta_2 r = \int_0^l \frac{M_x X}{E_c I_x} ds \quad \dots \dots \dots (716)$$

(註) 公式 714 及 715 の説明。任意の分格 ds 内の各點に於ては曲率は等しいものと假定し、今分格 ds に於ける断面の高を h とせば、

任意の分格 ds の断面が曲率 M_x を受けるときは断面の半分には張應力、他の半分には張應力を生じ、之等應力の値は断面の上下線に於て最大である。此の最大應力を σ とせば $\sigma = \pm \frac{M_x h}{2 I_x}$ である。次に張應力及張應力を受ける場合の材料の彈性係数 E_c を等しきものと假定せば、分格 ds の上下線は應力 σ のために短縮又は伸長をなし、此の短縮及伸長量はフック氏の法則に依り

$\frac{\sigma}{E_c} ds = \frac{M_x h}{2 E_c I_x} ds$ である。第 717 圖に於て 1-2-3-4 なる分格 ds の断面 1-2 が曲率 M_x を受けて、その重心線の周りに迴轉し 1'-2' となれば 1-2 線と 1'-2' 線のなす



第 716 圖

$$M_A \int_0^l \frac{Y}{I_x} ds + V_A \int_0^l \frac{XY}{I_x} ds + H_A \int_0^l \frac{Y^2}{I_x} ds + \int_0^l M_s \frac{Y}{I_x} ds + H_A \int_0^l \frac{\cos^2 \varphi_x}{A_x} ds = 0 \quad \dots \dots \dots (722)$$

$$M_A \int_0^l \frac{X}{I_x} ds + V_A \int_0^l \frac{X^2}{I_x} ds + H_A \int_0^l \frac{XY}{I_x} ds + \int_0^l M_s \frac{X}{I_x} ds = 0 \quad \dots \dots \dots (723)$$

$$M_A \int_0^l \frac{ds}{I_x} + V_A \int_0^l \frac{X}{I_x} ds + H_A \int_0^l \frac{Y}{I_x} ds + \int_0^l M_s \frac{ds}{I_x} = 0 \quad \dots \dots \dots (724)$$

此の 3 方程式より M_A , V_A , H_A を求むるに當り縦横距の原點を左支點より彈性重心 (elastic center) に移すときは、公式 722 及 724 は更に簡単になり且つ M_A , V_A , H_A も亦簡単なる形式にて表示し得るものである。

彈性重心とは次の 3 條件を満足する點である。

$$\int y \frac{ds}{I_x} = 0 \quad \int x \frac{ds}{I_x} = 0 \quad \int xy \frac{ds}{I_x} = 0$$

此處に x , y は原點を彈性重心に取りたる場合に於ける各断面の縦横距にして以下彈性重心を原點とする場合の断面の彎曲率、断面積、二次率、其の他は夫々 M_s , A_x , I_x , φ_x 等にて表はす。

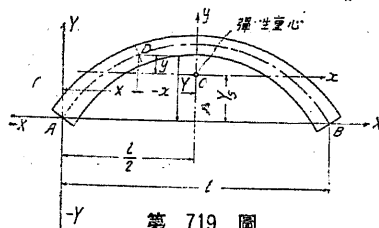
上記 3 條件を満足する點は各断面の $\frac{ds}{I_x}$ を一種の荷重と看做したるときの重心である。

今 X_s = 左支點 A より彈性重心 O までの横距

Y_s = 左支點 A より彈性重心 O までの縦距

とす、然るに對稱拱に於ては彈性重心は明かに拱頂を通る鉛直線上に在る、即ち $= \frac{l}{2}$ である。

s は X 軸の周りに於ける $\frac{ds}{I_x}$ の力率の和を $\frac{ds}{I_x}$ にて除して求める。



第 719 圖
第 719 圖の如く原點を左支點 A より
彈性重心 O に移す。即ち

$$Y_s = \frac{\sum_s Y \frac{ds}{I_x}}{\sum_s \frac{ds}{I_x}} \quad \dots \dots \dots (725)$$

$$X = \frac{l}{2} - (-x) = \frac{l}{2} + x$$

$$Y = Y_s + y$$

を公式 722 ~ 724 に代入せば

公式 722 より

$$(M_A + \frac{l}{2} V_A + H_A Y_s) \int_{-\frac{l}{2}}^{\frac{l}{2}} \frac{ds}{I_x} = -H_A \left[\int_{-\frac{l}{2}}^{\frac{l}{2}} y^2 \frac{ds}{I_x} + \int_{-\frac{l}{2}}^{\frac{l}{2}} \frac{\cos^2 \varphi_x}{A_x} ds \right] \\ - Y_s \int_{-\frac{l}{2}}^{\frac{l}{2}} M_s \frac{ds}{I_x} - \int_{-\frac{l}{2}}^{\frac{l}{2}} M_s y \frac{ds}{I_x} \quad \dots \dots \dots (726)$$

公式 723 より

$$\frac{l}{2} (M_A + \frac{l}{2} V_A + H_A Y_s) \int_{-\frac{l}{2}}^{\frac{l}{2}} \frac{ds}{I_x} = -V_A \int_{-\frac{l}{2}}^{\frac{l}{2}} x^2 \frac{ds}{I_x} - \frac{l}{2} \int_{-\frac{l}{2}}^{\frac{l}{2}} M_s \frac{ds}{I_x} \\ - \int_{-\frac{l}{2}}^{\frac{l}{2}} M_s x \frac{ds}{I_x} \quad \dots \dots \dots (727)$$

公式 724 より

$$(M_A + \frac{l}{2} V_A + H_A Y_s) \int_{-\frac{l}{2}}^{\frac{l}{2}} \frac{ds}{I_x} = - \int_{-\frac{l}{2}}^{\frac{l}{2}} M_s \frac{ds}{I_x} \quad \dots \dots \dots (728)$$

公式 728 を公式 726 に代入して

$$H_A = - \frac{\int_{-\frac{l}{2}}^{\frac{l}{2}} M_s y \frac{ds}{I_x}}{\int_{-\frac{l}{2}}^{\frac{l}{2}} y^2 \frac{ds}{I_x} + \int_{-\frac{l}{2}}^{\frac{l}{2}} \frac{\cos^2 \varphi_x}{A_x} ds} \quad \dots \dots \dots (729)$$

公式 728 を公式 727 に代入して

$$V_A = - \frac{\int_{-\frac{l}{2}}^{\frac{l}{2}} M_s x \frac{ds}{I_x}}{\int_{-\frac{l}{2}}^{\frac{l}{2}} x^2 \frac{ds}{I_x}} \quad \dots \dots \dots (730)$$

$$\text{尚ほ } M_A + \frac{l}{2} V_A + H_A Y_s = M \quad \dots \dots \dots \quad (731a)$$

と置けば公式 728 より

$$M = - \frac{\int_{-\frac{l}{2}}^{\frac{l}{2}} M_s \frac{ds}{I_x}}{\int_{-\frac{l}{2}}^{\frac{l}{2}} \frac{ds}{I_x}} \quad \dots \dots \dots \quad (731)$$

M は公式 731a に依り明かなる如く左支點 A と彈性重心 O とを強固なる鉤 (如何なる力を受くるも伸長又は短縮せざる假想材料よりなる鉤) にて結連したるときの彈性重心の彎曲率に當り、 O 點に於ける水平及鉛直反力は左支點 A に於けるものと同量にして同方向である。(第 720 圖参照)

§ 711 溫度變化による水平推力及任意の斷面の彎曲率 拱環は兩端固定し自由に移動し得ない。従つて溫度變化のため拱環内に溫度應力を生ずる。今

M_A, V_A, H_t = 溫度變化に依る左支點 A の彎曲率、鉛直反力及水平推力

M_B, V_B, H_t = 溫度變化に依る右支點 B の彎曲率、鉛直反力及水平推力

M_{tx} = 溫度變化に依る任意の點の彎曲率

とせば公式 708 に依り

$$M_{tx} = M_A + V_A X + H_t Y + M, \quad (\text{原點左支點 } A)$$

原點を彈性重心に移し且つ鉛直荷重なき場合であるから

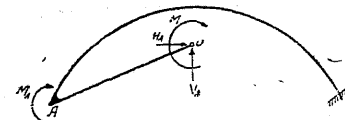
$$M_s = 0 \quad \text{尚ほ } M = M_A + \frac{l}{2} V_A + H_t Y_s \text{ と置けば}$$

$$M_{tx} = M + V_A x + H_t y$$

にして拱の兩支點に於て $x = \pm \frac{l}{2}, y = -Y_s$ であるから

$$M_A = M - \frac{l}{2} V_A - H_t Y_s \quad M_B = M + \frac{l}{2} V_A - H_t Y_s \quad \text{となり}$$

$M_A - M_B = V_A l$ である。然るに對稱拱に於ては溫度變化のみに依る左右支點の彎曲率は明かに等しい。故に



第 720 圖

$$M_A - M_B = 0 \quad \text{従て } V_A = 0 \text{ である。}$$

即ち、溫度變化に依り兩支點に鉛直反力を生じない。従て拱環任意の點の彎曲率は

$$M_{tx} = M + H_t y$$

となる。次に左支點 A が自由に動き得るものと假定し溫度變化に因る水平變位 Δl を求むれば

$$\Delta l = -\frac{1}{E_c} \left\{ - \int_0^l \frac{M_{tx} Y}{I_x} ds + \int_0^l \frac{N_{tx} \cos \varphi_x}{A_x} ds \right\}$$

〔註〕 公式 709 の $\Delta l = \Delta_1 l + \Delta_2 l$ に公式 711 及 715 を代入して上式を求める。尚ほ N_{tx} は溫度變化に因る任意斷面の軸壓力とす。

上式の原點を左支點 A より彈性重心に移し、 N_{tx} の代りに公式 710a を代入せば

$$\Delta l = -\frac{1}{E_c} \left[-Y_s M \int_{-\frac{l}{2}}^{\frac{l}{2}} \frac{ds}{I_x} - H_t \left\{ \int_{-\frac{l}{2}}^{\frac{l}{2}} \frac{y^2}{I_x} ds + \int_{-\frac{l}{2}}^{\frac{l}{2}} \frac{\cos^2 \varphi_x}{A_x} ds \right\} \right] \dots \dots \dots \quad (732)$$

次に溫度變化に依る起拱點の角變位を求め、公式 709 に依り之を零と置けば

$$\Delta \varphi = \int_{-\frac{l}{2}}^{\frac{l}{2}} (M + H_t y) \frac{ds}{I_x} = M \int_{-\frac{l}{2}}^{\frac{l}{2}} \frac{ds}{I_x} + H_t \int_{-\frac{l}{2}}^{\frac{l}{2}} \frac{y}{I_x} ds = M \int_{-\frac{l}{2}}^{\frac{l}{2}} \frac{ds}{I_x} = 0$$

然るに $\int_{-\frac{l}{2}}^{\frac{l}{2}} \frac{ds}{I_x} \neq 0$ にして $M = 0$ となる。

〔註〕 上記角變位は公式 718 の M_x の代りに $M_{tx} = M + H_t y$ を代入し原點を彈性重心に移して求める、尚ほ原點が彈性重心であるため $\int y \frac{ds}{I_x} = 0$ にして又 M は彈性重心の彎曲率である。

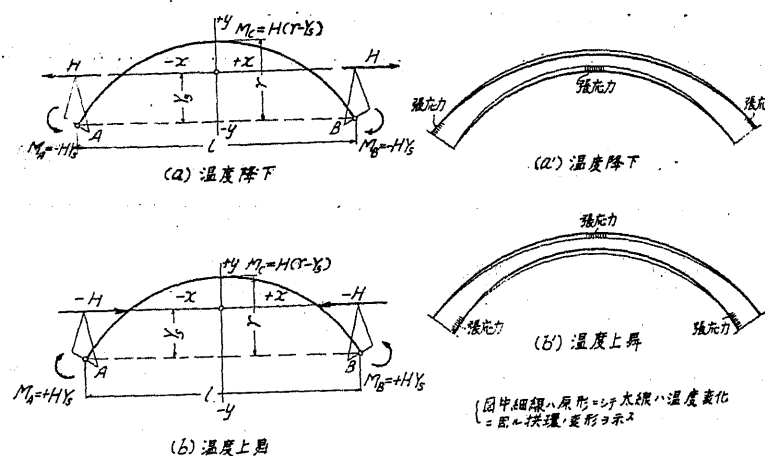
溫度變化のためには彈性重心に彎曲率を生じない、即ち溫度變化による水平推力 H_t は第 721 圖の如く彈性重心と同高の位置に水平に作用する。

従て溫度變化に因る任意の點の彎曲率 M_{tx} は

$$M_{tx} = H_t y \quad \dots \dots \dots \quad (33)$$

である。

又公式 732 に $M = 0$ を代入して H_t を求むれば



第 721 圖

$$H_t = - \frac{E_c \Delta l}{\int_{-\frac{l}{2}}^{\frac{l}{2}} \frac{y^2}{I_x} ds + \int_{-\frac{l}{2}}^{\frac{l}{2}} \frac{\cos^2 \varphi_x}{A_x} ds} \quad \dots \dots \dots (734)$$

径間が 短縮 するときの Δl は $(+)$ とす

今 t = 拱環の温度変化 α = 膨脹係数とせば

$$\Delta l = \pm \alpha t l$$

にして此の値を公式 734 に代入せば

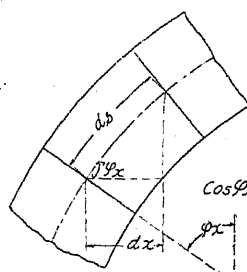
$$H_t = \pm \frac{\alpha t E_c l}{\int_{-\frac{l}{2}}^{\frac{l}{2}} \frac{y^2}{I_x} ds + \int_{-\frac{l}{2}}^{\frac{l}{2}} \frac{\cos^2 \varphi_x}{A_x} ds} \quad \dots \dots \dots (735)$$

$(-)$ は温度上昇、 $(+)$ は温度降下の場合

第 721 圖は温度變化に因る水平推力の方向及作用點、並びに張應力の生ずる位置を示したものである。

§ 712 M_A, V_A, H_A, H_t の實用公式

公式 729, 730, 731, 及 735 を一組として使用



第 722 圖

し得るも設計に當つては次の如く之等の公式を變化せば更に便利である。

1 第 722 圖の如く分格 ds の水平長を dx とせば

$$ds = \frac{dx}{\cos \varphi_x} \text{ であるから之を公式 729, 730, 731, 735, に代入して}$$

$$H_A = - \frac{\int_{-\frac{l}{2}}^{\frac{l}{2}} M \frac{y dx}{I_x \cos \varphi_x}}{\int_{-\frac{l}{2}}^{\frac{l}{2}} \frac{y^2 dx}{I_x \cos \varphi_x} + \int_{-\frac{l}{2}}^{\frac{l}{2}} \frac{\cos \varphi_x}{A_x} dx} \quad \dots \dots \dots (a)$$

$$V_A = - \frac{\int_{-\frac{l}{2}}^{\frac{l}{2}} M_s \frac{x dx}{I_x \cos \varphi_x}}{\int_{-\frac{l}{2}}^{\frac{l}{2}} \frac{x^2 dx}{I_x \cos \varphi_x}} \quad \dots \dots \dots (b)$$

$$M = - \frac{\int_{-\frac{l}{2}}^{\frac{l}{2}} M_s \frac{dx}{I_x \cos \varphi_x}}{\int_{-\frac{l}{2}}^{\frac{l}{2}} \frac{dx}{I_x \cos \varphi_x}} \quad \dots \dots \dots (c)$$

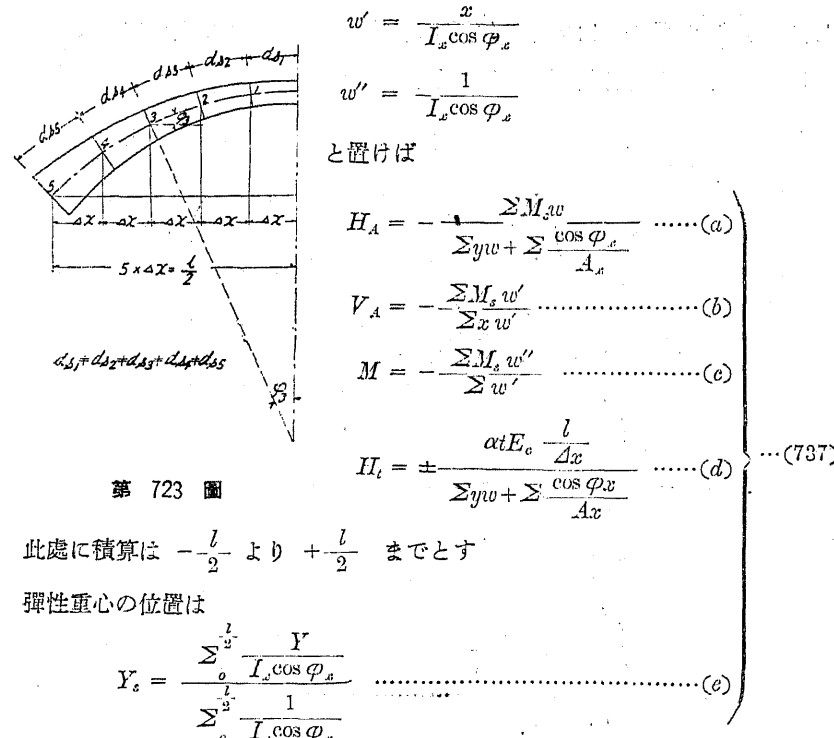
$$H_t = \pm \frac{\alpha t E_c l}{\int_{-\frac{l}{2}}^{\frac{l}{2}} \frac{y^2 dx}{I_x \cos \varphi_x} + \int_{-\frac{l}{2}}^{\frac{l}{2}} \frac{\cos \varphi_x}{A_x} dx} \quad \dots \dots \dots (d)$$

弹性重心の位置は公式 725 より

$$Y_s = \frac{\int_0^{\frac{l}{2}} Y \frac{dx}{I_x \cos \varphi_x}}{\int_0^{\frac{l}{2}} \frac{dx}{I_x \cos \varphi_x}} \quad \dots \dots \dots (e)$$

2 公式 736 に於て dx を實用上の長 Δx とし、尚ほ第 723 圖の如く Δx を等長に採り

$$w = \frac{y}{\cos I_x \varphi_x}$$



3 弾性係数。前記の公式 729 ~ 737 に含む弾性係数はコンクリートの弾性係数である。コンクリートの弾性係数はコンクリートの受ける応力強度が増加する程、小になるものであつて、断面の決定に使用するコンクリートの弾性係数 $140000 kg/cm^2$ は、コンクリートの受ける応力強度が其の許容強度に近い場合の値である。拱其の他の不静定構造物に於ては、各断面が同時に許容強度に近い力を受くることなく、寧ろ或る断面が許容強度に近い力を受くるときは、他の断面の大部分は許容強度より遙かに小さい力を受くるものである。從て斯かる場合に於けるコンクリートの弾性係数は $140000 kg/cm^2$ より大なる値を採用しなければならない。次に温度変化による水平推力 H_t は、公式 735 に依りて明かなる如く弾性係数の値如何に依り、直接大なる影響を受ける（公式 735 の分母は弾性係数の変化による影響が比較的小さい）。即ち弾性係数が増加すれば H_t の値

は、弾性係数の増加した倍数に近く増大し、弾性係数の値を小さく探るは危険である。從て不静定値を算出する場合と、許容强度に近い力を受くる断面決定の場合との弾性係数の値を同一にすることは甚だしい矛盾と云はなければならぬ。一般に次の標準に依る弾性係数を採用して不静定値を算出する。

不静定値算定に於てハ弾性比 (n) $\neq 10$ トシ断面應力ノ算定ニ於テハ $n \neq 15$ トス。

即ち鋼の弾性係数を標準として不静定値算定に採用するコンクリートの弾性係数を算定せば

$$E_c = \frac{1}{10} \cdot 210000 = 210000 \text{ kg/cm}^2$$

である。

4 公式運用上の注意。

(イ) 第二節の諸公式は對稱無鉛拱にのみ應用し得るものである。

(ロ) 第二節の諸公式中溫度應力に關するものを除いては何れも鉛直荷重にのみ應用し得るもので水平荷重には應用出來ない。拱環に作用する水平荷重は充側拱の土壓力である。充側拱の場合は拱矢低く、土壓力小にして之が拱環應力に及ぼす影響微小なるため一般に土壓力に依る水平荷重は無視する。從て此處には水平荷重に依る拱環應力の解法を略したのである。

(ハ) 支間小なる拱に於ては公式 729, 735, 及公式 736, 737, の a, d , に於ける分母の第二項は其の値第一項に比し極めて小であるから省略するも差支へない。

(二) 著者は最も便宜なる公式として 737 を推奨する。

§ 713 拱環の彎曲率、軸壓力、剪力

1 左支點 A の彎曲率。公式 731a に依り。

$$M_A = M - \frac{l}{2} V_A Y_s \dots \dots \dots (738)$$

2 任意の點の彎曲率。公式 708 の原點を弾性重心に移せば

$$M_x = M + V_A x + H_s y + M_s \dots \dots \dots (739)$$

3 M_s の値。 M_s は拱を右支點 B に於て固定せる突桁（第 724 圖 (b)）と看做したるときの任意の點の彎曲率であつて常に負である。荷重が任意の點の左にある場合には其の點に M_s を生じ、荷重が任意の點の右にあれば M_s は零である。

$$\left. \begin{array}{l} M'_x = M' + V'_A x + H'_A y + M'_s \dots \dots \dots (a) \\ N'_x = V'_x \sin \varphi_x - H'_A \cos \varphi_x \dots \dots \dots (b) \\ S'_x = V'_x \cos \varphi_x + H'_A \sin \varphi_x \dots \dots \dots (c) \end{array} \right\} \dots \dots \dots (747)$$

である。

第三節 無鉛拱の設計

径間及拱矢に付いては § 705、拱環の形狀に付いては § 706 に述べたるを以て此處に省略する。

§ 715 拱環厚 鉄筋²以下の拱に於ては拱環厚及鐵筋量を豫め定めなければ拱環各部の應力を算出することは出來ない。

拱環厚を豫め定めるには設計せんとする拱橋と支間、拱矢、荷重が類似せる既設拱橋を参考とするか、又は以下述ぶる近似式に依りて定める。

1 Strassner 氏の近似式

h_c, h_s = 夫々拱頂及起拱點に於ける拱環厚 (m)

I_c, I_s = 夫々拱頂及起拱點に於ける断面の二次率

φ_s = 起拱點の中心角 (起拱點の断面が鉛直線となす角)

$$n = \frac{I_c}{I_s \cos \varphi_s}$$

g_c, g_s = 夫々拱頂及起拱點の死荷重 (t/m^2)

$$m = \frac{g_s}{g_c}$$

p = 等布活荷重 (t/m^2)

σ_{ea} = コンクリートの許容壓應力強度 (t/m^2)

l_1, r = 夫々支間及拱矢 (m)

t = 溫度變化 (度)

とせば

$$h_c = \frac{K \cdot l^2}{2 \cdot r \cdot \sigma'_{ea}} \left[1 + \sqrt{1 + \frac{24 \cdot \sigma'_{ea} \cdot U_1}{(K \cdot \frac{l}{r})^2}} \right]$$

$$\text{此處に } \sigma'_{ea} = \sigma_{ea} - 6(1 - \phi_c) \left(U_2 \frac{h_c}{r} + U_3 \frac{l^2}{r^2} \right)$$

$$\left. \begin{array}{l} K = \alpha q_c + \beta p \\ U_1 = \gamma p \\ U_2 = \delta t \\ U_3 = \xi q_c \end{array} \right\} \dots \dots \dots (748)$$

公式 748 の $\alpha, \beta, \gamma, \delta, \xi$ は第 703 表又 ϕ_c は第 705 表に依りて定める。

$n = 0,3$ の場合に於ける $\alpha, \beta, \gamma, \delta, \xi$ の値は次の公式に依りて求める。

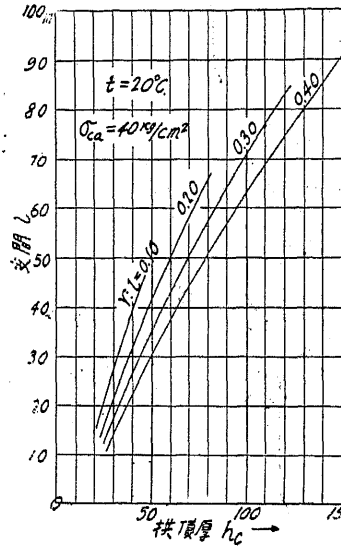
$$\left. \begin{array}{l} \alpha = 0,1080 + 0,0190 m - 0,0005 m^2 \\ \beta = 0,0579 + 0,0335 m \\ \gamma = 0,00426 + 0,00037 m \\ \delta = -9,10 + 0,04 m \\ \xi = 0,0408 + 0,0046 m \\ \phi_c = \frac{4}{5} \frac{h_c}{r} \end{array} \right\} \dots \dots \dots (749)$$

第 703 表

本表中 $\left. \begin{array}{l} \text{上の数は } n = 1,0 \text{ の場合} \\ \text{中の数は } n = 0,3 \text{ の場合} \\ \text{下の数は } n = 0,15 \text{ の場合} \end{array} \right\}$

m	1	3~4	10
α	0,125	0,169	0,250
	0,060	0,072	0,098
	0,059	0,072	0,089
β	0,059	0,073	0,091
	0,0054	0,0073	0,0099
	0,0044	0,0057	0,0076
γ	0,0040	0,0051	0,0068
	-6,6	-6,3	-6,0
	-9,4	-9,3	-9,1
δ	-11,1	-11,1	-10,9
ε	0,035	0,040	0,053

ξ	0,051	0,059	0,080
	0,059	0,069	0,096



第 729 圖

公式 749 は $n = 0,3$ として算出したものであるが $n = 0,2$ 乃至 $n = 0,4$ の範囲に應用するも差支へない。公式 748 には q_c 及 h_c を含むために公式運用前先づ拱頂厚を假定しなければならぬ。之がためには第 729 圖の圖表、又は公式 751 に依りて h_c を假定する、又 m の値が必要であるため起拱點の厚を豫め假定するには § 715 の 3 に依りて定めるか、又は公式 751, 752 に依りて h_s を假定する。

$$h_s = \frac{Kl^2}{2r\sigma_{ea}\cos\phi_s} \left[1 + \sqrt{1 - \frac{4\sigma_{ea}C}{(K\frac{l}{r}\cos\phi_s)^2}} \right] \quad (750)$$

此處に $C = 6U_1 + 6(1-\phi_s)\cos\phi_s \left(U_2 \frac{h_c^3}{l^2r} + U_3 \frac{h_c^2}{r^2} \right)$

ϕ_s は第 705 表に依りて求める。
 K, U_1, U_2, U_3 は公式 748 に同じく之等の係數
 $\alpha, \beta, r, \delta, \xi$ は第 704 表に依る
 $\cos\phi_s$ は公式 752 に依りて定める。

第 704 表

本表中
 上の數は $n = 1,0$
 中の數は $n = 0,3$
 下の數は $n = 0,15$

m	1	3 ~ 4	10
α	0,125	0,169	0,250

β	0,040 0,039 0,038	0,035 0,035 0,034	0,032 0,032 0,032
γ	-0,0171 -0,0211 -0,0236	-0,0145 -0,0180 -0,0201	-0,0121 -0,0149 -0,0163
δ	13,3 29,4 42,3	14,8 34,8 50,7	17,1 41,3 61,5
ξ	-0,073 -0,159 -0,221	-0,091 -0,221 -0,311	-0,156 -0,359 -0,543

第 705 表

n	1,0	0,6	0,3	0,15	$\frac{h_c}{r}$
ϕ_c	0,58	0,66	0,80	0,95	$\frac{h_c}{r}$
ϕ_s	0,24	0,23	0,22	0,21	$\frac{h_s}{r}$

〔例 1〕拱橋の拱頂厚 h_c を定めよ。

但し $l = 30 m$ $r = 6 m$ $n = 0,3$ $m = 6$ $q_c = 1,42 t/m^2$ $p = 0,6 t/n^2$
 $t = \pm 20^\circ C$ $\sigma_{ea} = 400 t/m$ とす。

$r/l = \frac{6}{30} = 0,2$ であるから第 720 圖表に依り $h_c = 0,34 m$ と假定す。

公式 749 に依り

$$\alpha = 0,1080 + 0,0190 \cdot 6 - 0,0005 \cdot 6^2 = 0,204$$

$$\beta = 0,0579 + 0,0035 \cdot 6 = 0,0789$$

$$\gamma = 0,00426 + 0,00037 \cdot 6 = 0,00648$$

$$\delta = -0,10 + 0,04 \cdot 6 = -8,56$$

$$\xi = 0,0408 + 0,0045 \cdot 6 = 0,0684$$

公式 748 に依り

$$\phi_c = \frac{4}{5} \cdot \frac{0,34}{6} = 0,045 \quad (\cdot (1 - \phi_c)) = 5,73$$

$$K = 0,2040 \cdot 1,42 + 0,0789 \cdot 0,60 = 0,337 t/m^2$$

$$U_t = 0,00648 \cdot 0,60 = 0,00389 t/m^2$$

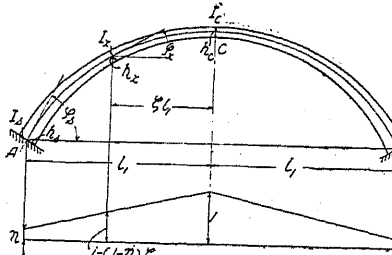
之等の起拱點厚を用ひて公式 750 に依り略正しい起拱厚を求めればよい。
拱環任意断面厚は一般に二次乃至三次抛物線形に變化するものと假定す、即ち
拱頂厚と起拱點厚との差、大なる拱、即ち r/l の小なるものは三次抛物線、 r/l
の大なるものは二次抛物線形に變化するものとし次の式に依りて定める。

$h_x = \text{拱頂より } x \text{ だけ離れたる断面の厚}$

$$\mu = \frac{h_x}{h_c}$$

とせば

$$\begin{aligned} \text{二次抛物線形に變化する場合} \quad h_x &= h_c \left[1 + (\mu - 1) \left(\frac{x}{\frac{1}{2}l} \right)^2 \right] \\ \text{三次抛物線形に變化する場合} \quad h_x &= h_c \left[1 + (\mu - 1) \left(\frac{x}{\frac{1}{2}l} \right)^3 \right] \end{aligned} \quad \dots \dots \dots (753)$$



第 730 圖

拱頂及任意断面の間に次の関係が成立するものとして任意断面厚を定めるときは次の公式 754 に依る。之れは拱環應力の近似計算に應用せらるゝ場合が多い。第 730 圖の如く

$$\frac{I_x}{I_x \cos \varphi_x} = 1 - (1-n) \zeta \quad \text{と假}$$

定して任意断面厚を算定せば次の如くなる。

$$\begin{aligned} h_x &= h_c \frac{1}{\sqrt[3]{1 - (1-n) \zeta \cos \varphi_x}} \\ \cos \varphi_x &= \frac{1}{\sqrt{1 + \tan^2 \varphi_x}} \end{aligned} \quad \dots \dots \dots (754)$$

4 拱環厚と溫度應力の關係。公式 735 の分子は拱環厚に無關係であるが、分母は拱環厚の増加に伴ひ著しく減少するため、溫度變化に依る水平推力 (H) は非常に増加することになる。即ち溫度應力は拱環厚を増加しても減少せず寧ろ増加する傾向がある。拱環の溫度應力は活荷重又は死荷重に因る應力に比して甚だしく大きいもので、特に扁平なる拱(flat arch)に於ては公式 735 の分母が小になり水平推力増大し起拱點及拱頂の溫度應力は著しく大きい。從て溫度應力を減少

せしむることは、死荷重に因る彎曲應力を避くると共に拱橋設計の要諦である。死荷重に因る彎曲應力は拱環形狀を適當に定むることに依りて避け得るが溫度應力を避けることは出來ない。只問題は溫度應力を如何なる程度まで減少し得るかに在りて之がためには

イ、出來得る限り拱環厚を小にすること。

ロ、扁平なる拱を避くること。

ハ、已を得ず拱を扁平となすときは起拱點厚を増大し拱頂厚となるべく減少すること。

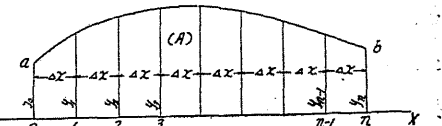
等の手段に依る。

§ 716 積算法 第二節に解きたる M, V_A, H_A の値の積算には種々方法がある。分格 (ds) の定め方は運用せんとする積算に適するものでなければならぬ。此處には普通に應用せらるゝシンプソン氏積算法(Simpson's rule 又は Parabolic rule)の結果を照會し其の特性を説明する。

シンプソン氏積算法。第 731 圖

の直線 $X-X$ と、曲線 ab 間の

面積 A を求むるに當り曲線の各



第 731 圖

點より直線 $X-X$ への垂線 y を知るときは、次の公式に依りて面積 A を求める。

$$A = \frac{\Delta x}{3} \{ y_0 + 4y_1 + 2y_2 + 4y_3 + 2y_4 + \dots + 2y_{n-2} + 4y_{n-1} + y_n \} \quad \dots \dots \dots (755)$$

又は

$$A = \frac{\Delta x}{3} \{ y_0 + (y_1 + y_3 + y_5 + \dots + y_{n-1}) + (y_2 + y_4 + y_6 + \dots + y_{n-2}) + y_n \}$$

公式 755 はシンプソン氏の積算式であつて、次の條件を具備する場合に限り應用し得るものである。

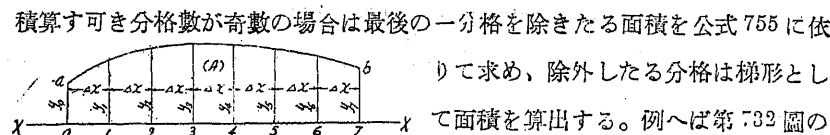
イ、各分格點(第 731 圖ノ 0, 1, 2, 3, ..., n)ノ間隔(Δx)が等長テアルコト。

ロ、分格點ノ數(第 731 圖ノ n)が偶數テアルコト。

ハ、a b 線が X-X 線ニ對シテ凸曲線アルコト。

公式 736 の分母は拱環軸を等長偶數個の分格に分つことに依り公式 755 を應用して積算し得るが、分子は積算す可き分格數が偶數の場合と奇數の場合と相半す

る。



第 732 圖

積算する可き分格数が奇数の場合は最後の一一分格を除いたる面積を公式 755 に依りて求め、除外したる分格は梯形として面積を算出する。例へば第 732 圖の

直線 $X-X'$ と曲線 ab 間の面積 A は

次の式に依りて求める。

$$A = \frac{dx}{3} \{y_0 + 4(y_1 + y_3 + y_5) + 2(y_2 + y_4) + y_6\} + \frac{dx}{2} (y_6 + y_7) \quad \dots \dots (756)$$

公式 736 の分母を公式 755 に依り、分子を公式 756 に依りて求むるときは同一公式の分母子の積算精度に差を生じ、理論上不完全なれども事實上の問題としては差支ない。

§ 717 應力計算

1 分格。積算法としてシンプソン氏積算法を應用する場合は分格點の起點 O を拱頂に始め兩端に向ひ水平距離が等しい様に拱支間の $\frac{1}{2}$ を偶數箇に分割し、公式 737 に依りて M, V_A, H_A を算出する。他の積算法を應用するときは分格を等長偶數箇とする必要はない。支間長 $80 m$ 以下の場合は支間の $1/2$ を $8 \sim 10$ 節の分格に分ち、支間 $80 m$ 以上なれば支間の $1/2$ を 10 節以上の分格に分割する。

2 幅。連續拱環 (barrel rib) に於ては幅 $1 m$ 、分離拱環 (separated rib) に於ては 1 條の拱肋 (rib) 全幅又は拱肋幅大なるときは幅 $1 m$ に付應力計算をなす。

3 断面積 (A_s) とその二次率 (I_s)。拱環の断面積及その二次率は断面全部

が有効と見做して算出する。上下線の主鐵筋量が等しいときは次の式に依りて算出する。第 733 圖を任意断面とし

b = 断面の幅

n = 弾性比

$2A_s$ = 主鐵筋の總断面積 (上下の鐵筋)

第 733 圖 とせば

$$\left. \begin{aligned} A_s &= bh_s + 2A_s(n-1) \\ I_s &= \frac{bh_s^3}{12} + 2A_s(n-1)\left(\frac{h_s}{2} - d'\right)^2 \end{aligned} \right\} \dots \dots (757)$$

第三節 無鉛拱の設計

である。公式 757 に於ける彈性比 $n = 10$ とする。(§ 712 の 3 参照)

4 断面の應力は軸壓力と彎曲率を同時に受くる場合であるから最大彎曲率を受くる場合、及最大軸壓力を受くる場合に付いて算定しなければならぬ。之等の彎曲率及軸壓力は影響線を應用して容易に算出し得る。断面の應力算定の場合に於ける彈性比 $n = 15$ とする。(§ 712 の 3 参照)

5 鐵筋。主鐵筋は普通直徑 $14 mm$ 以上、副鐵筋は直徑 $10 mm$ 以上、スチーラップは直徑 $6 mm$ 以上のものを使用し、拱頂に於ける主鐵筋量は断面の $\frac{6}{1000}$ 以上とする。

主鐵筋の最大間隔は連續拱環に於ては $30 cm$ 以下、又は断面厚の 2 倍以下とし分離拱環に於ては $15 cm$ 以下とする。副鐵筋は断面の $\frac{2}{1000}$ 以上とし最大間隔は $50 cm$ 以下又は断面の有効高の四倍以下とする。

§ 718 橋臺の設計 無鉛拱に於ては鉄環と橋臺又は橋脚とは完全に一體でなければならぬ。即ち拱環中の主鐵筋は充分之を橋臺又は橋脚中に埋込んで継着せしめる。

橋臺各部の最大應力は影響線を用ひて算出する。
第 734 圖に於て

K_1, K_2 = 橋臺の断面 12 の隨心とする。(コ

第 734 圖

ンクリート造なれば K_1, K_2 は middle third の限界點)

M_{K_1}, M_{K_2} = 夫々 K_1, K_2 に於ける最大彎曲率

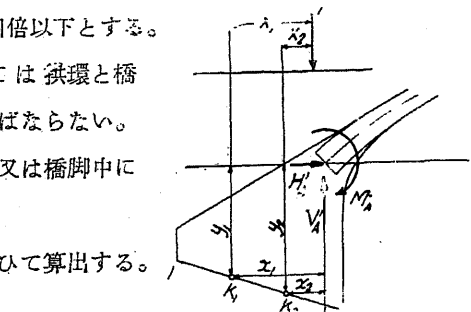
σ_1, σ_2 = 夫々 1, 2 に於ける應力強度

$W = 1-2$ 断面の断面係數

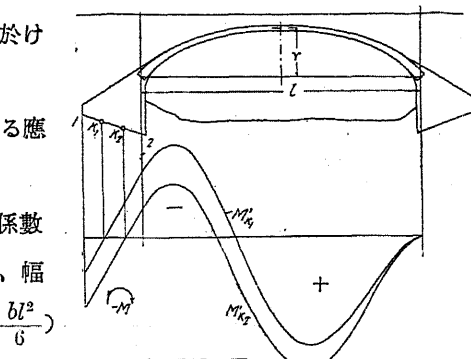
(断面 12 の長を l 、幅

を b とせば $W = \frac{bl^2}{6}$)

とせば



第 734 圖



第 735 圖

1 m の値 (q_e/q_c)拱頂に於ける死荷重 (q_c)

$$\text{床構築及欄干重量 } 4200 + 800 = 5000$$

$$\text{拱環重量 } 5.85 \cdot 0.4 \cdot 2400 = 5616$$

$$q_c = 10616 \text{ kg/m}$$

$$= \frac{10616}{5.85} = 1.8 \text{ t/m}^2$$

起拱點に於ける死荷重 (q_s) § 707 の 5 に依り拱環の形狀が二次拠物線に近いものと
せば起拱點の中心角 φ_s は次の式に依りて算出しえる。

$$\tan \varphi_s = \frac{4r}{l} = \frac{4 \cdot 6}{3.5} = 1.8 \quad \varphi_s = 38^\circ 40'$$

$$\text{起拱點を通る鉛直線に沿う拱環高 } h_s = \frac{h_c}{\cos \varphi_s} \quad (\text{III 参照})$$

$$h_s = \frac{1}{0.78079} = 1.28 \text{ m}$$

起拱點上の支壁厚は 30 cm 高 = $6 - 0.15 - \frac{1}{2} \cdot 1.28 = 5.21 \text{ m}$ と假定す。本設計に於て
は起拱點外にも支柱在るを以て、支壁より拱環に傳る荷重の $\frac{1}{2}$ が起拱點に傳はるものと
假定して起拱點に於ける死荷重 q_s を算出する。

$$\text{床構築及欄干重量 } 4800 + 800 = 5600$$

$$\text{支壁重量 } \frac{1}{2} \cdot 5.21 \cdot 0.3 \cdot 5.85 \cdot 2400 = 10974$$

$$\text{拱環重量 } 1.28 \cdot 5.85 \cdot 2400 = 17971$$

$$q_s = 34543 \text{ kg/m}$$

$$m = \frac{q_s}{q_c} = \frac{34543}{10616} = 3.25$$

開側に於ては § 707 の 4 に述べたる如く m の値は公式 703 に依りて定めなければ
ならない。依て先づ $m = 3.25$ と假定し公式 702 に依り $\frac{1}{4}$ 點の $y'_{\frac{1}{4}}$ の近似値を求める。

$$\text{hyper. cos } k = m = 3.25 \quad k = 1.847 \quad \zeta k = 0.5 \cdot 1.847 = 0.924$$

$$\text{hyper. cos } 0.924 = 1.45814$$

$$\therefore y'_{\frac{1}{4}} = \frac{6}{3.25 - 1} (1.45814 - 1) = 1.2 \text{ m}$$

公式 703 に依り

$$m = \frac{1}{2} \left(\frac{\gamma}{y'_{\frac{1}{4}}} - 2 \right)^2 - 1 = 3.5$$

2 拱環軸の形狀。本設計に於ては公式 743 を應用するため支間の $\frac{1}{2}$ を 10 分格に
分ち、各分格點の水平距離を 1.5 m とし、各分格點には第 740 圖の如く拱頂より右へ 0, 1, 2,
… 10, 左へ 1, 2, … 10 の名稱を附す。

$m = 3.5$ の場合は第 701 表に依りて直ちに拱環形狀を決定し得るが、第 701 表と分格點

數が異なるため、公式 702 に依りて各分格の位置を定むれば第 706 表の如くなる。

$$\text{hyper. cos } k = m = 3.5 \quad k = 1.925 \quad \frac{r}{m-1} = \frac{6}{3.5-1} = 2.4$$

$$y' = 2.4(\text{hyper. cos } 1.925; -1)$$

第 706 表

分格點	ζ	1.925ζ	$\text{hyper. cos } \zeta k$	y'	$Y = 6 - y'$
0	0	0	0	0	6.00
1	0.1	0.1925	1.0186	0.04	5.96
2	0.2	0.3850	1.0750	0.18	5.82
3	0.3	0.5775	1.1714	0.41	5.59
4	0.4	0.7700	1.3114	0.75	5.25
5	0.5	0.9625	1.5001	1.20	4.80
6	0.6	1.1550	1.7445	1.79	4.21
7	0.7	1.3475	2.0538	2.53	3.47
8	0.8	1.5400	2.4395	3.45	2.55
9	0.9	1.7325	2.9158	4.60	1.40
10	1.0	1.9250	3.5000	6.00	0

Y は起拱點を通る水平線より各分格點への縦距である。

次に公式 704 に依りて各分格點の中心角を求むれば第 707 表の如くなる。

$$\tan \varphi = \frac{rk}{l_1(m-1)} \text{hyper. sin } \zeta k = 0.308 \text{ hyper. sin } 1.925 \zeta$$

第 707 表

分格點	$\text{hyper. } 1.925\zeta$	$\tan \varphi$	φ	$\cos \varphi$	$\sin \varphi$
0	0	0	0	1.000	0
1	0.1937	0.0597	3°25'	0.9932	0.0596
2	0.3946	0.1215	6°56'	0.9927	0.1207
3	0.6101	0.1879	10°39'	0.9828	0.1848
4	0.8484	0.2613	14°39'	0.9675	0.2529
5	1.1182	0.3444	19°0'	0.9455	0.256
6	1.4295	0.4403	23°46'	0.9152	0.4030
7	1.7940	0.5526	28°55'	0.8753	0.4835
8	2.2251	0.6853	34°25'	0.8249	0.5652
9	2.7390	0.8436	40°9'	0.7644	0.6448
10	3.3548	1.0332	45°53'	0.6955	0.7185

起拱點の中心角は拱環を二次拠物線とする場合と相違せるに付、(1) に於ける m の算定に第 707 表の中心角を使用して検定するに公式 703 に依る m の値は前同様となる。

従つて第706, 第707表の値を以下の計算に使用す。

III 拱環厚

1 拱頂に於ける拱環厚。公式748に依り拱環厚を算定するに當り等布活荷重を必要とする。此の等布活荷重には支間30mの単桁に於ける換算等布荷重 (equivalent uniform load) を用ひる。

$$q_c = 1.8t/m^2 \quad p = 0.62t/m^2 \quad m = 3.5 \quad t = -25^\circ \text{ (X 参照) とし尚ほ} \\ h_c = 0.4m \quad h_a = 1.0m \text{ と假定せば}$$

$$n = \frac{I_c}{I_s \cos \varphi_s} = \frac{\frac{1,0 \cdot 0,4^3}{2}}{\frac{1,0 \cdot 1,0^3}{12} \cdot 0,6955} \div 0,10$$

第703表中に於て $n = 0,1$ に最も近き値 $n = 0,15$ の場合に依り公式748の係数を定め、拱頂に於ける拱環厚を定める。

$$K = \alpha q_c + \beta p = 0,169 \cdot 1,8 + 0,073 \cdot 0,62 = 0,34946$$

$$U_1 = \gamma p = 0,0051 \cdot 0,62 = 0,003162$$

$$U_2 = \delta t = -11,1(-25) = 277,5$$

$$U_3 = \varepsilon q_c = 0,069 \cdot 1,8 = 0,1242$$

$$\phi_e = 0,95 \frac{h_c}{r} = 0,95 \cdot \frac{0,4}{6} = 0,0633$$

$$\sigma_{ea} = 40 kg/cm^2 = 400 t/m^2$$

$$\sigma'_{ea} = \sigma_{ea} - 6(1 - \phi_e)(U_2 \frac{h_c}{r} + U_3 \frac{t^2}{r^2})$$

$$= 400 - 6(1 - 0,0633)(277,5 \cdot \frac{0,4}{6} + 0,1242 \cdot \frac{30^2}{6^2}) = 279$$

$$h_c = \frac{K t^2}{2 \sigma'_{ea}} \left[1 + \sqrt{1 + \frac{24 \sigma'_{ea} U_1}{(K \frac{t}{r})^2}} \right] = \frac{0,34946 \cdot 30^2}{2 \cdot 6 \cdot 279} \left[1 + \sqrt{1 + 24 \cdot 279 \cdot 0,003162} \right] \\ = 0,3527 m$$

拱頂厚は當初の假定通り $h_c = 40 cm$ とする。

2 起拱點及各分格點の拱環厚。起拱點の拱環厚は拱頂の2.5倍、即ち100cmと假定し任意の點の拱環厚は二次抛物線形に變化するものとして公式753に依りて算定する。

$$h_x = h_c \left\{ 1 + (\mu - 1) \left(\frac{x}{\frac{1}{2} l} \right)^2 \right\} \quad \mu = \frac{h_s}{h_c} = \frac{100}{40} = 2,5 \\ = 0,4 \left\{ 1 + 1,5 \left(\frac{x}{15} \right)^2 \right\}$$

此の式より算出せる各分格點の拱環厚は第708表の如くなる。

IV 鉄筋量、断面積及断面の二次率

主鉄筋には直径24mmの丸鋼を上下線に等量に配置する。各断面に於ける鉄筋配置は第739図の如く假定す。從て分格點10及9に於ける鉄筋量は

$$2A_s = 4 \cdot \frac{100}{15} \cdot 4,52 \\ = 120,52 \text{ cm}^2 = 0,012052 \text{ m}^2$$

第739図

分格點0乃至8に於ける鉄筋量は

$$2A_s = 2 \cdot \frac{100}{15} \cdot 4,52 = 60,26 \text{ cm}^2 = 0,006026 \text{ m}^2$$

である。

次に断面全部を有効と見做して公式757に依りて断面積 A_x 及二次率 I_x を算出せば第708表の如くなる。

(註) 本設計例は土木學會の鐵筋コンクリート示方書發表前のもので $n=12$ として不靜定値を算定せるものである。§712の3参照

$$A_x = bh_x + 2A_s(n-1) = h_x + 22A_s \quad \{n=12\}$$

$$I_x = \frac{bh_x^3}{12} + 2A_s(n-1) \left(\frac{h_x}{2} - d' \right)^2 = 0,083333h_x^3 + 22A_s \left(\frac{h_x}{2} - d' \right)^2$$

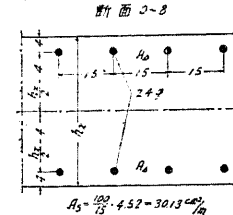
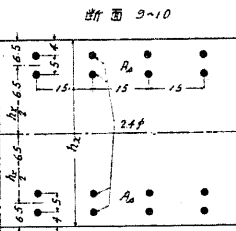
$$d' = 0,04 m \quad \text{分格點0乃至8}$$

$$= 0,065 m \quad \text{分格點9及10}$$

第708表

分格點	$x (m)$	$h_x (m)$	$A_x (m)$	$I_x (m^4)$
0	0	0,400	0,466	0,00703
1	1,5	0,406	0,472	0,00734
2	3,0	0,424	0,490	0,00831
3	4,5	0,454	0,520	0,01012
4	6,0	0,496	0,562	0,01304
5	7,5	0,550	0,616	0,01753
6	9,0	0,616	0,682	0,02424
7	10,5	0,694	0,760	0,03410
8	12,0	0,784	0,850	0,04837
9	13,5	0,886	1,019	0,06743
10	15	1,000	1,133	0,09588

V 弾性重心 公式737に依りて弾性重心を求める。



$$Y_s = \frac{\Sigma_0^{10} \frac{Y}{I_x \cos \varphi_x}}{\Sigma_0^{10} \frac{1}{I_x \cos \varphi_x}}$$

第 709 表

分格點	I_x	$\cos \varphi_x$	$I_x \cos \varphi_x$	$\frac{1}{I_x \cos \varphi_x}$	Y	$\frac{Y}{I_x \cos \varphi_x}$
0	0,00703	1,0000	0,00703	142,248	6,00	853,488
1	0,00734	0,9982	0,00733	136,426	5,96	813,099
2	0,00831	0,9927	0,00825	121,212	5,82	705,454
3	0,01012	0,9828	0,00995	100,503	5,59	561,812
4	0,01304	0,9675	0,01262	79,239	5,25	416,005
5	0,01753	0,9455	0,01657	60,350	4,80	289,680
6	0,02424	0,9152	0,02218	45,086	4,21	189,812
7	0,03410	0,8753	0,02985	33,501	3,47	116,248
8	0,04837	0,8249	0,03990	25,063	2,55	63,911
9	0,06743	0,7644	0,05154	19,402	1,40	27,163
10	0,09588	0,6955	0,06668	14,997	0	0

公式 755 に依り (本公式中の Δx は分母子の共通因数に付略す)

$$\Sigma_0^{10} \frac{1}{I_x \cos \varphi_x} = \frac{1}{3} \{ 142,248 + 4(136,426 + 100,503 + 60,350 + 33,501 + 19,402) \\ + 2(121,212 + 79,239 + 45,086 + 25,063) + 14,997 \} = \frac{1}{3} \cdot 2099,173$$

同様に

$$\Sigma_0^{10} \frac{Y}{I_x \cos \varphi_x} = \frac{1}{3} \cdot 10835,860$$

公式 737e に依り

$$Y_s = \frac{\frac{1}{3} \cdot 10835,860}{\frac{1}{3} \cdot 2099,173} = 5,1619 \doteq 5,16 \text{ m}$$

VI 不静定値 M' , V'_A , H'_A の影響線

1 不静定値の影響線を求むる公式 743 中の分母は何れも単位荷重の位置に無関係であるから、先づ公式 743 の分母及分子算出に必要な w , w' を求める。

第 710 表

分格點	x	$w = \frac{x}{I_x \cos \varphi_x}$	xw'	$y = Y - Y_s$	$w = \frac{y}{I_x \cos \varphi_x}$	yw	$\frac{\cos \varphi_x}{A_x}$
0	0	0	0	0,84	119,488	100,370	2,146
1	1,5	204,69	306,959	0,80	109,141	87,313	2,115
2	3,0	363,636	1090,908	0,66	80,000	52,800	2,026

3	4,5	452,264	2035,186	0,43	43,216	18,583	1,890
4	6,0	475,434	2852,604	0,09	7,132	0,642	1,722
5	7,5	452,625	3394,688	-0,36	-21,726	7,821	1,535
6	9,0	405,774	3651,966	-0,95	-42,832	40,690	1,342
7	10,5	351,761	3693,485	-1,69	-56,617	95,682	1,152
8	12,0	300,756	3609,072	-2,61	-65,414	170,732	0,970
9	13,5	261,927	3536,015	-3,76	-72,952	274,298	0,750
10	15,0	224,955	3374,325	-5,16	-77,385	399,304	0,614

公式 755 に依り $2\Sigma_0^{10} xw' = 51,765,838$ $2\Sigma_0^{10} yw = 1,976,127$ $2\Sigma_0^{10} \frac{\cos \varphi_x}{A_x} = 29,765$

本表の計算に於て $\frac{1}{I_x \cos \varphi_x}$ は第 709 表、 Y は第 706 表、 $Y_s = 5,16 \text{ m}$ 、 $\cos \varphi_x$ は第 707 表、 A_x は第 708 表より求める。

公式 743a より

$$H'_A \text{ 影響線の分母は } 2\Sigma_0^{10} yw + 2\Sigma_0^{10} \frac{\cos \varphi_x}{A_x} = 1,976,127 + 29,765 = 2,005,892$$

$$V'_A \text{ 影響線の分母は } 2\Sigma_0^{10} xw' = 51,765,838$$

$$M' \text{ 影響線の分母は } 2\Sigma_0^{10} w'' = \frac{2}{3} \cdot 2,099,173 = 1,399,449 \quad (\text{V 参照})$$

2 M' 影響線 公式 743c の分母は既に求めたるに付き、分子のみを求むればよい。単位荷重を 1 kg としそが拱の右半、即ち分格點 0 乃至 10 に在る場合を求むれば左半、即ち分格點 0 乃至 10 に在る場合は公式 744 に依りて直ちに求め得る。計算の結果は第 711 表の如くなり、之の影響線を圖に示せば第 740 圖の如くなる。

$$\text{公式 743c に依り } M' = \frac{\Sigma_a^{10} (x-a)w''}{2\Sigma_0^{10} w''} = \frac{\Sigma_a^{10} (x-a)w''}{1,399,449}$$

$$\text{公式 744 に依り } M'_{(-a)} = M'_{(a)} + a$$

3 H'_A 影響線 公式 743a に依りて荷重が右半に在る場合の H'_A を求むれば左半は右半と全く同一である。計算法は第 711 表と同一であるから第 712 表に一部分の計算と結果のみを示す。此の影響線を圖示せば第 740 圖の如くなる。

$$\text{公式 743a に依り } H'_A = \frac{\Sigma_a^{10} (x-a)w}{2\Sigma_0^{10} yw + 2\Sigma_0^{10} \frac{\cos \varphi_x}{A_x}} = \frac{\Sigma_a^{10} (x-a)w}{2,005,892}$$

$$\text{公式 746 に依り } H'_{A(-a)} = H'_{A(a)}$$

第 711 表

1 kg の荷重が右の各分格點に在るとき		$a = 0$	$\alpha = 0$	$\alpha = 1, sm$	$\alpha = 2, sm$	$\alpha = 3, 0 m$	$\alpha = 4, 5m$	$\alpha = 6, 0m$	$\alpha = 7, 5m$	$\alpha = 8, 0m$	$\alpha = 9, 0m$	$\alpha = 10, 5m$	$\alpha = 12, 0m$	$\alpha = 13, 5$	$\alpha = 15, 0$
#	x	w'	$x - \alpha(x - a)w'$	$x - \alpha(x - a)w'$	$x - \alpha(x - a)w'$	$x - \alpha(x - a)w'$	$x - \alpha(x - a)w'$	$x - \alpha(x - a)w'$	$x - \alpha(x - a)w'$	$x - \alpha(x - a)w'$	$x - \alpha(x - a)w'$	$x - \alpha(x - a)w'$	$x - \alpha(x - a)w'$	$x - \alpha(x - a)w'$	$x - \alpha(x - a)w'$
0	0	142,248	0	0	0	0	0	0	0	0	0	0	0	0	0
1	1,5	136,426	1,5	204,639	0	0	0	0	0	0	0	0	0	0	0
2	3,0	121,212	3,0	363,636	1,5	181,818	0	0	0	0	0	0	0	0	0
3	4,5	100,503	4,5	452,264	3,0	301,509	1,5	150,755	0	0	0	0	0	0	0
4	6,0	79,239	6,0	475,434	4,5	356,576	3,0	237,717	118,859	0	0	0	0	0	0
5	7,5	60,350	7,5	452,625	6,0	362,100	4,5	271,575	181,050	90,525	0	0	0	0	0
6	9,0	45,086	9,0	405,774	7,5	338,145	6,0	270,516	202,987	135,258	67,629	0	0	0	0
7	10,5	33,501	10,5	351,761	9,0	301,509	7,5	251,258	201,006	150,755	100,503	50,252	0	0	0
8	12,0	25,063	12,0	300,756	10,5	263,162	9,0	225,567	187,973	150,378	112,784	75,189	37,595	0	0
9	13,5	19,402	13,5	261,927	12,5	232,824	10,5	203,721	174,618	145,515	116,412	87,309	58,206	29,103	0
10	15,0	14,997	15,0	224,955	13,5	202,460	12,0	179,934	157,469	134,973	112,478	89,982	67,487	44,991	22,496
公式 755 又は公式 756 に依り積算す		$\Sigma_0^{10} = 343,006$	$\Sigma_1^{10} = 2454,846$	$\Sigma_2^{10} = 1718,933$	$\Sigma_3^{10} = 1154,344$	$\Sigma_4^{10} = 751,142$	$\Sigma_5^{10} = 458,260$	$\Sigma_6^{10} = 263,535$	$\Sigma_7^{10} = 131,433$	$\Sigma_8^{10} = 53,801$	$\Sigma_9^{10} = 11,248$	$\Sigma_{10}^{10} = 0$			
$M'_{(a)} = \frac{\Sigma(x-a)w'}{1399,449}$		$2,432 \text{ m.kg}$	$1,754$	$1,228$	$0,825$	$0,537$	$0,327$	$0,188$	$0,094$	$0,038$	$0,008$	0			
1 kg の荷重位置 (a)		$a = -1,5$	$\bar{1}$	$\bar{2}$	$\bar{3}$	$\bar{4}$	$\bar{5}$	$\bar{6}$	$\bar{7}$	$\bar{8}$	$\bar{9}$	$\bar{10}$			
公式 744 に依り $M'_{(-a)} = M'_{(a)} + a$		$3,254 \text{ m.kg}$	$4,228$	$5,325$	$6,537$	$7,827$	$9,188$	$10,594$	$12,038$	$13,508$	$13,508$	$15,000$			

第 712 表

1 kg の荷重が右の各分格點に在るとき		0 $a = 0$	$1 (1)$ $a = 1,5$	$2 (2)$ $a = 3,0$	$3 (3)$ $a = 4,5$
分格點	x	w	$x - a$	$(x - a)w$	$x - a$
0	0	119,483	0	0	0
1	1,5	109,141	1,5	163,712	0
2	3,0	80,000	3,0	240,000	1,5
3	4,5	43,216	4,5	194,472	3,0
4	6,0	7,132	6,0	42,792	4,5
5	7,5	- 21,726	7,5	- 162,945	6,0
6	9,0	- 42,832	9,0	- 385,488	7,5
7	10,5	- 56,617	10,5	- 594,479	9,0
8	12,0	- 65,414	12,0	- 784,968	10,5
9	13,5	- 72,952	13,5	- 984,852	12,0
10	15,0	- 77,385	15,0	- 1160,775	13,5
公式 755 又は公式 756 に依り積算す		$\Sigma_0^{10} = -2826,957$	$\Sigma_1^{10} = -2751,179$	$\Sigma_2^{10} = -2497,161$	$\Sigma_3^{10} = -2141,388$
$H'_A = \frac{\Sigma(x-a)w}{2005,892}$		- 1,409	- 1,372	- 1,245	- 1,068
1 kg の荷重が右の各分格點に在るとき		4 (4)	5 (5)	6 (6)	7 (7)
		8 (8)	9 (9)	10 (10)	
H'_A		- 0,844	- 0,625	- 0,417	- 0,244
		- 0,111	- 0,029	0	

本表の積算に於ては (+) の部分と (-) の部分を別々に取扱ふ。

4 V_A 影響線 公式 743b に依り荷重が右半に在る場合の V_A を求むれば左半は公式 745 に依り直ちに求められる。計算法は第 711 表と同一であるから第 713 表には一部の計算と結果のみを示す。此の影響線を圖示せば第 740 圖の如くなる。

$$\text{公式 743b に依り } V_A = \frac{\Sigma_a^{10}(x-a)w'}{2\Sigma_0^{10}xw'} = \frac{\Sigma_a^{10}(x-a)w'}{51,765,388}$$

$$\text{公式 745 に依り } V_{A(-a)} = 1 - V_{A(a)}$$

第 713 表

1 kg の荷重が右の各分格點に在るとき			0 $a = 0$	1 $a = 1,5$	2 $a = 3,0$	3 $a = 4,5$				
分格點	x	w'	$x-a$	$(x-a)w'$	$(x-a)$	$(x-a)w'$	$(x-a)$	$(x-a)w'$		
0	0	0	0	0	0	0	0	0		
1	1,5	204,639	1,5	306,959	0	0	0	0		
2	3,0	363,636	3,0	1090,908	1,5	545,454	0	0		
3	4,5	452,284	4,5	2035,186	3,0	1356,792	1,5	678,393		
4	6,0	475,434	6,0	2852,604	4,5	2139,453	3,0	1426,302		
5	7,5	452,625	7,5	3394,688	6,0	2715,750	4,5	2036,813		
6	9,0	405,774	9,0	3651,966	7,5	3043,305	6,0	2434,644		
7	10,5	351,761	10,5	3693,485	9,0	3165,849	7,5	2638,208		
8	12,0	300,756	12,0	3609,072	10,5	3157,938	9,0	2706,804		
9	13,5	261,927	13,5	3536,015	12,0	3143,124	10,5	2750,234		
10	15,0	224,955	15,0	3374,325	13,5	3036,893	12,0	2699,480		
公式 755 又は 756 に依り積算す		$\Sigma_0^{10} = 25882,919$	$\Sigma_1^{10} = 20869,327$	$\Sigma_2^{10} = 16083,188$	$\Sigma_3^{10} = 11870,449$					
$V_{A(a)} = \frac{\Sigma_n^{10} (x-a)w'}{51765,838}$		0.500	0.403	0.311	0.229					
1 kg の荷重が右の各分格點に在るとき	4 $a=6,0$	5 $a=7,5$	6 $a=9,0$	7 $a=10,5$	8 $a=12,0$	9 $a=13,5$	10 $a=15$			
$V_{A(a)}$	0.161	0.106	0.064	0.034	0.014	0.003	0			
1 kg の荷重が右の各分格點に在るとき	1	2	3	4	5	6	7	8	9	10
$V_{A(-a)} = 1 - V_{A(a)}$	0.597	0.689	0.771	0.839	0.894	0.936	0.966	0.986	0.997	1.000

VII 各断面に於ける弯曲率、軸圧力、剪力の影響線

此處には計算の例として起拱點 ($\bar{10}$) $1/4$ 點 ($\bar{5}$) 及拱頂 (0) の断面に於ける弯曲率、軸圧力、剪力の計算法のみを記する。

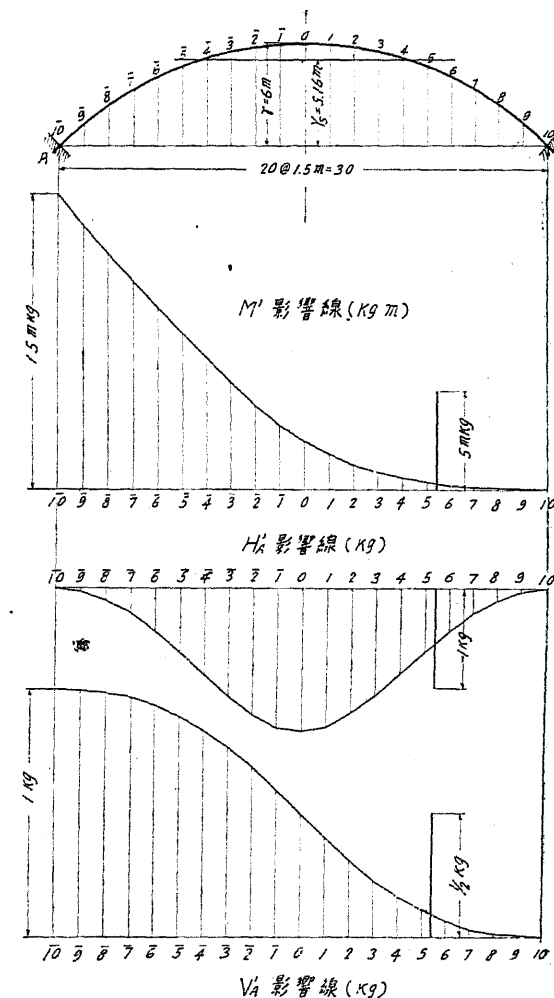
1 起拱點に於ける弯曲率 ($M'_{\bar{10}}$)、軸圧力 ($N'_{\bar{10}}$)、剪力 ($S'_{\bar{10}}$) の影響線

公式 747 に依り

$$M'_x = M' + V'_A x + H'_A y + M'_s$$

然るに起拱點 ($\bar{10}$) に於ては $M_s = 0$ $x = -\frac{l}{2} = -15m$ $y = -Y^e = -5,16m$ である。

第三節 無鉗拱の設計



第 740 圖

$$M'_{\bar{10}} = M' - 15V'_A - 5,16H'_A$$

$$\text{又 } \cos \varphi_{\bar{10}} = 0,6955 \quad \sin \varphi_{\bar{10}} = 0,7185 \quad V_x = V'_A \text{ であるから公式 747 に依り}$$

$$N'_{\bar{10}} = 0,7185V'_A - 0,6955H'_A$$

$$S'_{\bar{10}} = 0,6955V'_A + 0,7185H'_A$$

第 711, 712, 713 表に於ける M' , H'_A , V'_A の値を用ひて弯曲率、軸圧力、剪力を計算せ

は第714、第715表の如くなり、此の影響線を圖示せば第741圖の如くなる。

第 714 表

$M'_{\overline{10}} = M' - 5,16 H'_A - 15 V'_A$				
荷重位置	M'	$-5,16 H'_A$	$-15 V'_A$	$M'_{\overline{10}}$
10	0	0	0	0
9	0,008	0,150	- 0,045	0,113
8	0,038	0,573	- 0,210	0,401
7	0,094	1,259	- 0,510	0,843
6	0,188	2,152	- 0,960	1,380
5	0,327	3,225	- 1,590	1,962
4	0,537	4,355	- 2,415	2,477
3	0,825	5,511	- 3,435	2,901
2	1,228	6,424	- 4,665	2,987
1	1,754	7,080	- 6,045	2,789
0	2,432	7,270	- 7,500	2,202
$\overline{1}$	3,254	7,080	- 8,955	1,379
$\overline{2}$	4,228	6,424	- 10,335	0,317
$\overline{3}$	5,325	5,511	- 11,585	- 0,729
$\overline{4}$	6,537	4,355	- 12,585	- 1,693
$\overline{5}$	7,827	3,225	- 13,410	- 2,358
$\overline{6}$	9,188	2,152	- 14,040	- 2,700
$\overline{7}$	10,594	1,259	- 14,490	- 2,637
$\overline{8}$	12,038	0,573	- 14,790	- 2,179
$\overline{9}$	13,508	0,150	- 14,955	- 1,297
10	15,000	0	- 15,000	0

第 715 表

$N'_{\overline{10}} = 0,7185 V'_A - 0,6955 H'_A$			$S'_{\overline{10}} = 0,6955 V'_A + 0,7185 H'_A$			
荷重位置	$0,7185 V'_A$	$-0,6955 H'_A$	$N'_{\overline{10}}$	$0,6955 V'_A$	$0,7185 H'_A$	$S'_{\overline{10}}$
10	0	0	0	0	0	0
9	0,002	0,020	0,022	0,002	- 0,021	- 0,019
8	0,010	0,077	0,087	0,010	- 0,080	- 0,070
7	0,024	0,170	0,194	0,024	- 0,175	- 0,151
6	0,048	0,290	0,336	0,045	- 0,300	- 0,255
5	0,076	0,435	0,511	0,074	- 0,449	- 0,375

第三節 無鉛拱の設計

4	,116	,587	,703	0,112	- ,603	- ,494
3	,165	,743	,908	0,159	- ,767	- ,608
2	,223	,836	1,089	0,216	- ,895	- ,679
1	,290	,954	1,244	0,280	- ,986	- ,706
0	,359	,980	1,339	0,348	- 1,012	- ,664
$\overline{1}$,429	,954	1,383	0,415	- ,986	- ,571
$\overline{2}$,495	,863	1,361	0,479	- ,895	- ,416
$\overline{3}$,554	,743	1,297	0,536	- ,767	- ,231
$\overline{4}$,603	,587	1,190	0,584	- ,803	- ,022
$\overline{5}$,642	,435	1,077	0,622	- ,449	,173
$\overline{6}$,673	,290	,963	0,651	- ,300	,351
$\overline{7}$,694	,170	,864	0,672	- ,175	,497
$\overline{8}$,708	,077	,785	0,686	- ,080	,06
$\overline{9}$,716	,020	,736	0,693	- ,021	,672
10	,719	0	,719	0,696	0	,696

2 $\frac{1}{4}$ 點 ($\overline{5}$) に於ける彎曲率、軸壓力、剪力の影響線。

$\overline{5}$ 點に於ては $x = -7,5 \text{ m}$ $y = Y - Y_s = 4,80 - 5,16 = -0,36$ にして

$$M'_s = -(x-a) = 7,5+a$$

$$= 0$$

1 kg の荷重が $\overline{5}$ 點より左に在るとき
1 kg の荷重が $\overline{5}$ 點より右に在るとき

1 kg が $\overline{5}$ 點より左に在る場合には a は常に負である。

公式 747a に依り

$$M'_{\overline{5}} = M' - 7,5 V'_A - 0,36 H'_A + (7,5+a)$$

$$= M' - 7,5 V'_A - 0,36 H'_A$$

分格點 10 より $\overline{5}$ まで
分格點 6 より 10 まで

次に $\cos \varphi_{\overline{5}} = 0,9455$. $\sin \varphi_{\overline{5}} = 0,3256$ にして

$$V_x = V'_A - 1$$

$$= V_A$$

1 kg の荷重が $\overline{5}$ 點の左に在るとき
1 kg の荷重が $\overline{5}$ 點の右に在るとき

である。從て公式 747b,c に依り

$$N'_{\overline{5}} = 0,3256 V'_A - 0,9455 H'_A$$

分格點 10 より $\overline{5}$ まで
分格點 5 より 10 まで

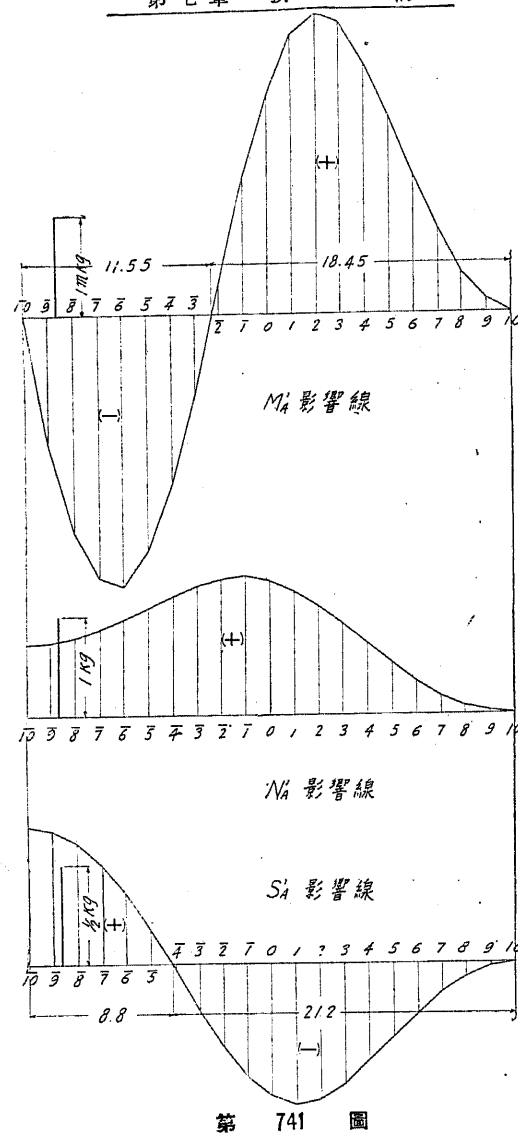
$$S'_{\overline{5}} = 0,9455 V'_A - 0,3256 H'_A$$

分格點 10 より $\overline{5}$ まで
分格點 5 より 10 まで

$$= 0,9455(V_A - 1) - 0,3256 H'_A$$

分格點 5 より 10 まで

軸壓力と剪力影響線は第742圖に示す如く考慮中の断面 $\overline{5}$ 點に於て急激なる變化をする。從て影響線の面積を求むるに此の變化せる位置を明瞭ならしめねばならぬ。単位荷重



が $\frac{1}{5}$ 点に極めて接近せる左右の点に在る場合の影響線を求める、之がためには $\frac{1}{5}$ 点に単位荷重が在る場合と無き場合を求むればよい。

第 717 表中括弧内は $\frac{1}{5}$ に荷重在る場合を示す。尙第 715 表 第 717 表は弯曲率、及軸圧力、剪力影響線の計算を示し第 742 圖は影響線を圖示したものである。

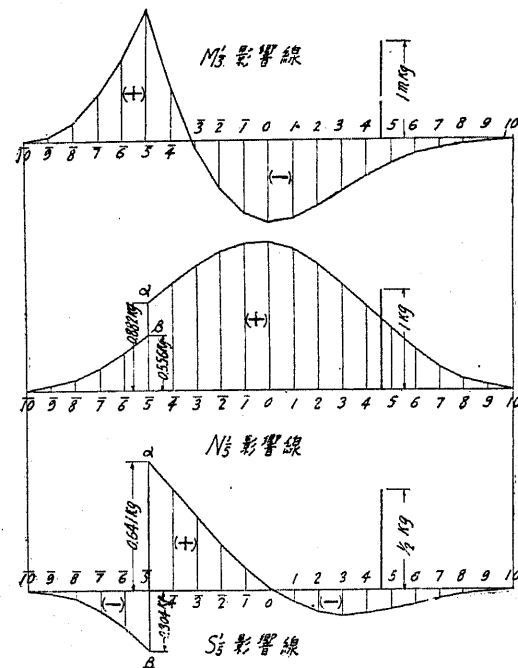
第 716 表

荷重位置	M'	$M'_5 = M' - 7.5V'_A - 0.36H'_A$		$10 - \frac{1}{5}$		
		$-7.5V'_A$	$-0.36H'_A$	a	$7.5+a$	M'_5
10	0	0	0	0	0	0
9	0.008	-0.023	0.010	"	-0.005	
8	,038	- ,105	,040	"	- ,027	
7	,094	- ,255	,089	"	- ,072	
6	,188	- ,480	,150	"	- ,142	
5	,327	- ,795	,225	"	- ,243	
4	,537	- 1,208	,304	"	- ,368	
3	,825	- 1,718	,384	"	- ,509	
2	1,228	- 2,333	,448	"	- ,657	
1	1,754	- 3,023	,494	"	- ,775	
0	2,432	- 3,750	,507	"	- ,811	
$\frac{1}{2}$	3,254	- 4,478	,494	"	- ,730	
$\frac{3}{2}$	4,228	- 5,168	,448	"	- ,492	
$\frac{5}{2}$	5,325	- 5,783	,384	"	- ,074	
$\frac{7}{2}$	6,537	- 6,293	,304	"	,548	
$\frac{9}{2}$	7,827	- 6,705	,225	- 7.5	0	1,347
$\frac{1}{2}$	9,188	- 7,020	,150	- 9.0	- 1.5	,8.8
$\frac{3}{2}$	10,594	- 7,245	,089	- 10.5	- 3.0	,438
$\frac{5}{2}$	12,038	- 7,395	,040	- 12.0	- 4.5	,183
$\frac{7}{2}$	13,508	- 7,478	,010	- 13.5	- 6.0	,040
$\frac{9}{2}$	15,000	- 7,500	0	- 15.0	- 7.5	0

第 717 表

荷重位置	$N''_5 = 0.3256V'_A - 0.9455H'_A$		$10 - \frac{1}{5}$		$S''_5 = 0.9455V'_A - 0.3256H'_A$		$10 - \frac{1}{5}$	
	$0.3256V'_A$	$0.3256(V'_A - 1)$	$-0.9455H'_A$	N''_5	$0.9455V'_A$	$0.9455(V'_A - 1)$	$-0.3256H'_A$	S''_5
10	(0	0	0	(0	0	0	0	0
9	0.001	0.027	0.028	0.003	-0.009	-0.006		
8	,005	,105	,110	,013	- ,036	- ,023		
7	,011	,231	,242	,032	- ,079	- ,047		
6	,021	,394	,415	,061	- ,136	- ,075		

5		,035	,591	,626	,100	- ,204	- ,104
4		,052	,798	,850	,152	- ,275	- ,123
3		,075	1,010	1,085	,217	- ,348	- ,131
2		,101	1,177	1,278	,294	- ,405	- ,111
1		,131	1,297	1,428	,381	- ,447	- ,066
0		,163	1,332	1,495	,473	- ,459	- ,014
1		,194	1,297	1,491	,554	- ,447	,117
2		,224	1,177	1,401	,651	- ,405	,246
3		,251	1,010	1,261	,729	- ,348	,381
4		,273	,798	1,071	,793	- ,275	,518
5		,291	,591	,882	,854	- ,204	,641
6		(-0.035)	(-0.035)	(-0.556)	(-1.00)	(- .304)	
7		- ,021	,394	,373	-0.061	- ,136	- ,197
8		- ,011	,231	,220	- ,032	- ,079	- ,111
9		- ,005	,105	,100	- ,013	- ,036	- ,049
10		- ,001	,027	,026	- ,003	- ,009	- ,012
		0	0	0	0	0	0



第 742 圖

3 拱頂(0)に於ける弯曲率、軸壓力、剪力の影響線。

0 點に於ては $x = 0 \quad y = 0.84 \text{ m} \quad \cos\varphi_0 = 1 \quad \sin\varphi_0 = 0$

である。從て公式 747 に依り

$$M'_o = M' + 0.84 H'_A + M_s$$

$$M'_s = -(x-a) = a \quad 1 \text{ kg の荷重が } 0 \text{ 點の左に在るとき}$$

$$N'_o = -H'_A$$

$$S'_o = V'_x$$

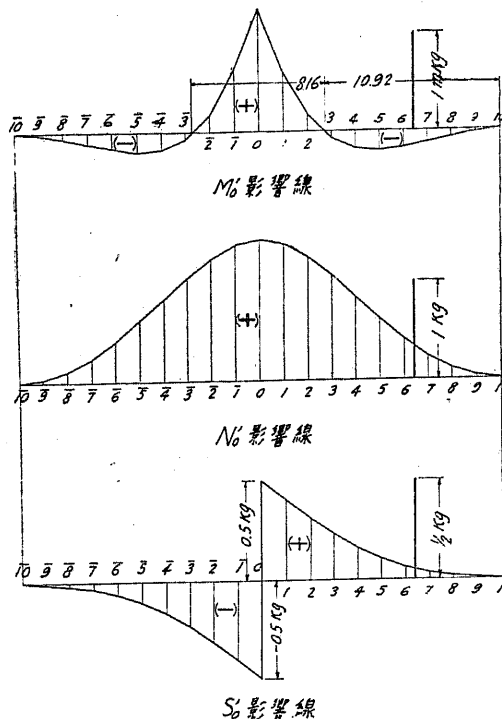
$$V'_x = V'_A - 1 \quad 1 \text{ kg の荷重が } 0 \text{ 點の左に在るとき}$$

$$= V'_A \quad " \quad \text{右} \quad "$$

第 718 表は上記計算表であつて、第 743 図は此の影響線を圖示したものである。

第 718 表

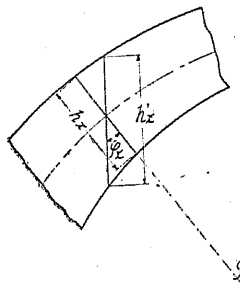
	$M'_o = M' + 0.84 H'_A$	$10 - \bar{5}$		$N'_o = -H'_A$	$S'_o = V'_A 10 - \bar{5}$	
	$= M' + 0.84 H'_A + a$	$\bar{5} - 10$			$= V'_A - 1 \bar{5} - \bar{10}$	
荷重位置	M'_o	$0.84 H'_A$	a	M'_o	$N'_o = -H'_A$	S'_o
10	0	0		0	0	0
9	0.008	-0.024		-0.016	0.029	-0.003
8	.038	- ,093		- ,055	,111	,014
7	,094	- ,205		- ,111	,244	,034
6	,188	- ,350		- ,162	,417	,064
5	,327	- ,525		- ,198	,625	,106
4	,537	- ,709		- ,172	,844	,161
3	,825	- ,897		- ,072	1.068	,229
2	1.228	-1.046		,182	1.245	,311
1	1.754	-1.152		,602	1.372	,403
0	2.432	-1.184	0	1.248	1.409	,500
1	3.254	-1.152	-1.5	,602	1.372	(- ,500)
2	4.228	-1.046	-3.0	,182	1.245	- ,403
3	5.325	- ,897	-4.5	- ,072	1.068	- ,311
4	6.537	- ,709	-6.0	- ,172	,844	- ,229
5	7.827	- ,525	-7.5	- ,198	,625	- ,161
6	9.188	- ,350	-9.0	- ,162	,417	- ,106
7	10.594	- ,205	-10.5	- ,111	,244	- ,064
8	12.038	- ,093	-12.0	- ,055	,111	- ,034
9	13.508	- ,024	-13.5	- ,016	,029	- ,014
10	15.000	0	-15.0	0	0	- ,003



第 743 圖

線となり、公式 755 に依りて之の面積を積算するときは相等の誤差を避ける事は出来ぬ。從て死荷重に因る弯曲率、軸壓力、剪力は各分格點に集中するものとして、之れに影響線縦距を乗じたる積の代数和に依りて求むるも差支へない。開側拱床構の死荷重は支壁に集中して拱環に作用するものとする。本計算例に於ては拱環支壁及床構等の死荷重は分格點に集中するものと假定する。拱環重量は各分格點に於ける高(h'_x)を平均高、長 1.5m 幅 1.0m として算出す。第 719 表は死荷重の算出表である。

第 744 圖



Ⅶ 死荷重に因る弯曲率、軸 壓力、剪力

1 死荷重、死荷重は § 707 の 2 に述べた様に鉛直線に沿ひて測る。第 744 図に於て任意の断面厚を h_x とし、その断面の重心を通る鉛直線に沿ふ拱環高を h'_x とせば

$$h'_x = \frac{h_x}{\cos \varphi_x}$$

である。弯曲率、軸压力、剪力を求むるに當り充測拱の場合、又は開測拱の拱環のみに因る場合に於ては、死荷重の變化は連續的であるから各分格點に於ける単位長の死荷重を算出し、之れに各影響線の縦距を乗じ、公式 755 又は 756 の積算法に依りて算出するも差支ない。然し軸压力、剪力影響線縦距に死荷重を乗じたる積の曲線は一部凹曲

第 719 表

分格點	$\cos \varphi_x$	$h_x(m)$	$h'_x(m)$	拱環重量 $1.5 \times 2400 h_x(kg)$	床構、支壁 欄干の重量	拱環幅 1m 当り 死荷重 $q(kg)$
0	1.000	.400	.400	1,440	1,283	2,723
1	0.9982	.406	.407	1,465	1,427	2,892
2	0.9927	.424	.427	1,537	2,462	3,999
3	0.9828	.454	.462	1,663		1,663
4	0.9675	.493	.513	1,847	3,224	5,071
5	0.9455	.550	.582	2,095		2,095
6	0.9152	.616	.673	2,423	3,893	6,316
7	0.8753	.694	.793	2,855		2,855
8	0.8249	.784	.950	3,420	5,153	8,578
9	0.7644	.886	1,159	4,172		4,172
10	0.6955	1,000	1,438	$\frac{1}{2} \cdot 5,177$	6,873	9,262
				= 2,589		

2 死荷重に因る弯曲率、軸壓力、剪力は第 719 表の死荷重を Ⅶ に求めたる影響線の縦距に乘じたる積の代数和である。参考のため起拱點及拱頂に於ける弯曲率、軸壓力、剪力を求むれば次の如し。

起拱點 ($\bar{10}$) 第 719 表、第 714 表、第 715 表を應用し弯曲率 ($M_{d\bar{10}}$) 軸壓力 ($N_{d\bar{10}}$) 剪力 ($S_{d\bar{10}}$) を求むれば次の如し。

$$M_{d\bar{10}} = 4367 \text{ kg}$$

$$N_{d\bar{10}} = 6612 \text{ kg}$$

$$S_{d\bar{10}} = 1047 \text{ kg}$$

拱頂 (0) に於ては第 719 表第 718 表を應用して弯曲率 (M_{d0}) 軸壓力 (N_{d0}) 剪力 (S_{d0}) を求むれば次の如し。

$$M_{d0} = 1765 \text{ kg}$$

$$N_{d0} = 45260 \text{ kg}$$

$$S_{d0} = 0$$

Ⅷ 活荷重に因る弯曲率、軸壓力、剪力

1 活荷重 拱環に作用する活荷重を算出するには、橋面の全幅に荷重を満載し、之を拱環の全幅にて受くるものと見做し、拱環単位幅の活荷重を算出する、充側拱又は本設計の拱頂附近 ($2 \sim \bar{2}$ 間) に於ける輪荷重は填充土砂又はコンクリートを通して縦の方向に分布する。之の分布幅は輪荷重直下の填充材深を用ひ 28 條に準じて算出する。

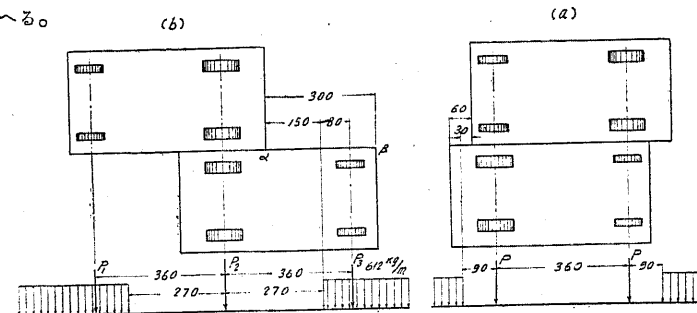
本設計に於ける活荷重は大部分支壁に集中する集中荷重である、分格點 $2 \sim \bar{2}$ 間に於ては填充コンクリート及鋪装を通して縦の方向に分布するものであるがその影響小なるに付き

輪荷重は分格點 2 ~ 2' 間に於ても集中荷重と見做す。

拱環幅 1m 當りの群衆荷重は 20 條に依り

$$P = \frac{6}{5.85} \cdot \frac{100,000}{170+30} = \frac{6 \cdot 500}{5.85} \div 612 \text{ kg/m} \quad \left\{ \begin{array}{l} \text{路面幅 } 6 \text{ m} \\ \text{拱環幅 } 5.85 \text{ m} \\ \text{支間 } 30 \text{ m} \end{array} \right.$$

拱環幅 1m 當りの自動車輪荷量。自動車の配置は第 745 圖 (a) (b) の如き 2 つの場合を考へる。



第 745 圖

$$(a) \text{の場合 } P = \frac{1}{5.85} (2 \cdot 1000 + 2 \cdot 3000) = 1368 \text{ kg/m}$$

$$(b) \text{の場合 } P_1 = P_3 = \frac{1}{5.85} \cdot 2 \cdot 1000 = 342 \text{ kg/m}$$

$$P_2 = \frac{1}{5.85} \cdot 4 \cdot 3000 = 2051 \text{ kg/m}$$

自動車の前後に在る群衆荷重は第 745 圖に示す如く α β の中央を通る線の前後に満載するものと假定する。

衝撃係数は最大應力を生ずる荷重長に依りて異なる故に個々の場合に算定しなければならぬ。

2 活荷重に因る起拱點の彎曲率、軸壓力、剪力。

(イ) 正最大彎曲率 (M_{t10})。第 741 圖に依り正最大彎曲率を生ずる、荷重長 l = 18.45 m であるから衝撃係数 i は 21 條に依り

$$i = \frac{20}{60+18.45} = 0.255$$

である。從て衝撃を含む輪荷重は次の如くなる。

$$(a) \text{の場合 } P = 1.255 \cdot 1368 \div 1720 \text{ kg}$$

$$(b) \text{の場合 } P_1 = P_3 = 1.255 \cdot 342 \div 429 \text{ kg}$$

$$P_2 = 1.255 \cdot 2051 \div 257 \text{ kg}$$

之等の輪荷重の内最大のものが影響線絶距の正最大値の直上に在る場合にし、影響線が

負なる區間に荷重なきものとして、正最大彎曲率及正最大彎曲率を生ずる場合の軸壓力を算出せば第 720 表の如くなる。

第 720 圖

分格點	M'_{10}	(a) の場合		(b) の場合		群衆荷重のみの場合		正最大 M_{t10} を生ずる場合の軸壓力	
		荷重	M_{t10}	荷重	M_{t10}	荷重	M_{t10}	N'_{10}	N_{10}
10	0	1836	0	1836	0	1836	0	0	0
8	0.401	"	735	"	735	"	735	0.087	160
6	1.380	1950	2691	1912	2639	"	2531	0.333	655
4	2.477	1606	3978	1436	3557	"	4543	0.703	1129
2	2.987	1720	5138	2583	7712	1377	4113	1.089	1873
1	2.789	826	2303	0	0	918	2530	1.244	1028
0	2.202	918	2021	643	1416	918	2021	1.339	1229
0+0.5m	1.8728			429	803				
1	1.379	918	1266	918	1266	918	1266	1.383	1270
2	0.317	734	233	734	233	734	233	1.361	999
		$\Sigma = 18365$		$\Sigma = 18361$		$\Sigma = 18002$		$\Sigma = 8343$	

即ち 正最大彎曲率 $M_{t10} = 18365 \text{ m kg}$

此の場合の軸壓力 $N_{10} = 8343 \text{ kg}$

(ロ) 負最大彎曲率 (M_{t10}) 最大軸壓力 (N_{t10}) 最大剪力 (S_{t10})

前同様にして

負最大彎曲率 $M_{t10} = -11113 \text{ m kg}$

此の場合の軸壓力 $N_{10} = 7963 \text{ kg}$

最大軸壓力 $N_{t10} = 15931 \text{ kg}$

此の場合の剪力 $M_{t10} = 5855 \text{ m kg}$

正最大剪力 $S_{t10} = 3015 \text{ kg}$

負最大剪力 $S_{t10} = -4883 \text{ kg}$

3 活荷重に依る拱頂の彎曲率、軸壓力、剪力。算法は全く前と同様であるから結果のみを記せば次の如し。

正最大彎曲率 $M_{t10} = 3344 \text{ m kg}$

此の場合の軸壓力 $N_0 = 5217 \text{ kg}$

負最大彎曲率 $M_{t10} = -1423 \text{ m kg}$

此の場合の軸壓力 $N_0 = 9672 \text{ kg}$

最大軸壓力 $N_{t10} = 12279 \text{ kg}$

此の場合の弯曲率 $M_0 = 1324 \text{ m kg}$

正負剪力 $S_{t0} = \pm 2189 \text{ kg}$

X 温度変化に因る弯曲率、軸圧力、剪力

1 温度変化に因る水平推力 H_t 。温度変化は 2 條に依り $\pm 15^\circ C$ であるが此の外硬化収縮の影響を考慮しなければならぬ。硬化収縮の影響は § 106 に述べたる如く温度低下 $15^\circ C$ と同等の影響あるものと見做すものである。然し拱環コンクリート施工法に依りて硬化収縮の影響を幾分避け得るを以て温度は次の如く変化するものと見做す。

温度上昇 $15^\circ C$

温度低下 $25^\circ C$

弾性比 $n = 12$ とし鋼の弾性係数を標準としてコンクリートの弾性係数 E_c を算出せば (§ 719 IV の註及 § 712 の 3 参照)

$$E_c = \frac{E_s}{12} = \frac{2100000}{12} = 166666.6 \div 167,000 \text{ kg/cm}^2 = 167 \cdot 10^7 \text{ kg/m}^2$$

尚ほ $\alpha = 0.00001$ とせば

公式 737 の分子は次の如くなる。

$$\alpha E \frac{l}{\Delta x} t = 0.00001 \cdot 167 \cdot 10^7 \cdot \frac{30}{1.5} t = 334000 t$$

$$\text{温度上昇 } H_t = \frac{-334000 \cdot 15}{2005.92} = -2498 \text{ kg}$$

$$\text{温度低下 } H_t = \frac{334000 \cdot 25}{2005.92} = 4163 \text{ kg}$$

2 起拱點の弯曲率 (M_{t0}) 軸圧力 (N_{t0}) 剪力 (S_{t0})

公式 733 に依り

$$M_{t0} = -2498 \cdot (-5.16) = 12890 \text{ m kg} \quad \text{温度上昇}$$

$$= 4163 \cdot (-5.16) = -21841 \text{ m kg} \quad \text{温度低下}$$

公式 742 に依り

$$N_{t0} = -(-2498) \cdot 0.6955 = 1737 \text{ kg} \quad \text{温度上昇}$$

$$= -4163 \cdot 0.6955 = -2895 \text{ kg} \quad \text{温度低下}$$

$$S_{t0} = -2498 \cdot 0.7185 = -1795 \text{ kg} \quad \text{温度上昇}$$

$$= 4163 \cdot 0.7185 = 2991 \text{ kg} \quad \text{温度低下}$$

3 拱頂に於ける弯曲率 M_{t0} 軸圧力 N_{t0} 剪力 S_{t0}

公式 733 に依り

$$M_{t0} = -2498 \cdot 0.84 = -2098 \text{ m kg} \quad \text{温度上昇}$$

$$= 4163 \cdot 0.84 = 3497 \text{ m kg} \quad \text{温度低下}$$

公式 742 に依り

第三節 無鉛拱の設計

$$N_{t0} = -(-2498) \cdot 1 = 2498 \text{ kg} \quad \text{温度上昇}$$

$$= -4163 \cdot 1 = 4163 \text{ kg} \quad \text{温度低下}$$

$$S_{t0} = 0$$

IV 全弯曲率、軸圧力、剪力 同時に起り得る弯曲率、軸圧力、剪力を適當に組合せ之等の最大値を求むれば第 721 表の如くなる。

第 721 表

		正最大弯曲率を生ずる場合		負最大弯曲率を生ずる場合		最大軸圧力を生ずる場合		正最大剪力を生ずる場合		負最大剪力を生ずる場合	
	荷重名	弯曲率	軸圧力	弯曲率	軸圧力	弯曲率	軸圧力	剪力	剪力	剪力	剪力
		m/kg	kg	m/kg	kg	m/kg	kg	kg	kg	kg	kg
起拱點	死荷重	+ 4367	+ 66162	+ 4367	+ 66162	+ 4367	+ 66162	+ 1047	+ 1047		
	活荷重	+ 18385	+ 8343	- 11113	+ 7983	+ 5855	+ 15931	+ 3015	- 4883		
	計	+ 22732	+ 74505	- 6746	+ 74125	+ 10222	+ 82093	+ 4062	- 3836		
	(10) 温度変化	+ 12890	+ 1737	- 21841	- 2895	+ 12890	+ 1737	+ 2991	- 1795		
合計		+ 35622	+ 76242	- 28587	+ 71230	+ 23112	+ 83833	+ 7053	- 5631		
拱頂	死荷重	+ 1785	+ 45269	+ 1765	+ 45269	+ 1765	+ 45269	0	0		
	活荷重	+ 3344	+ 5217	- 1428	+ 9672	+ 1324	+ 12279	+ 2189	- 2189		
	計	+ 5109	+ 50486	+ 337	+ 54941	+ 3089	+ 57548	+ 2189	- 2189		
	(10) 温度変化	+ 3497	- 4163	- 2098	+ 2498	- 2098	+ 2498	0	0		
合計		+ 8606	+ 46323	- 1761	+ 57439	+ 991	+ 60046	+ 2189	- 2189		

III 起拱點に於ける断面の應力

1 正最大弯曲率を生ずる場合

$$M = 35622 \text{ m kg} \quad N = 76242 \text{ kg} \quad h = 100 \text{ cm} \quad d' = 6.5 \text{ cm} \quad a = 43.5 \text{ cm}$$

$$b = 100 \text{ cm} \quad A_s = 60.26 \text{ cm}^2 \quad n = 15 \quad e = \frac{M}{N} = \frac{35622}{76242} = 0.467 \text{ m} = 43.7 \text{ cm}$$

公式 77 に依り

$$x^3 - 9.9x^2 + 5065.5x - 458521.4 = 0$$

$$x \approx 58.2 \text{ cm}$$

公式 77 に依り

$$\sigma_c = \frac{N}{\frac{bx}{2} + nA_s \left(2 - \frac{h}{x} \right)} = \frac{76242}{\frac{100 \cdot 58.2}{2} + 15 \cdot 60.26 \left(2 - \frac{100}{58.2} \right)} = 24.1 \text{ kg/cm}^2$$

$$\sigma_s = \frac{n\sigma_c}{x} \left[a + \frac{h}{2} - x \right] = \frac{15 \cdot 24.1}{58.2} \left[43.5 + \frac{100}{2} - 58.2 \right] = 219 \text{ kg/cm}^2$$

2 最大軸圧力を生ずる場合

$$N = 83830 \text{ kg} \quad M = 23112 \text{ m kg} \quad e = \frac{23112}{83830} = 0.276 \text{ m} = 27.6 \text{ cm}$$

公式 77 に依り

$$x = 82,7 \text{ cm}$$

$$\sigma_c = 17,2 \text{ kg/cm}^2$$

負最大弯曲率を生ずる場合は略す。尚ほ剪力は極めて小であるから剪應力の計算は略す。

XII 拱頂に於ける断面の應力

1 正最大弯曲率を生ずる場合

$$M = 8606 \text{ mkg} \quad N = 46323 \text{ kg} \quad h = 40 \text{ cm} \quad d' = 4 \text{ cm} \quad a = 16 \text{ cm} \quad b = 100 \text{ cm}$$

$$A_s = 30,13 \text{ cm}^2 \quad n = 15 \quad e = \frac{M}{N} = \frac{8606}{46323} = 0,186 \text{ m} = 18,6 \text{ cm}$$

公式 77 に依り

$$x^3 - 4,2x^2 + 1008,8x - 34059 = 0$$

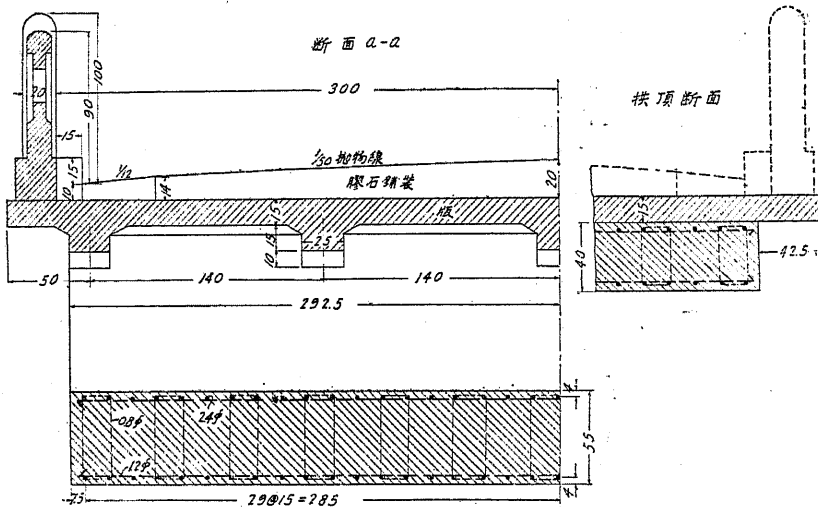
$$x = 23,4 \text{ cm}$$

$$\sigma_c = \frac{46323}{\frac{100 \cdot 23,4}{2} + 15 \cdot 30,13 \left(2 - \frac{40}{23,4} \right)} = 35,4 \text{ kg/cm}^2$$

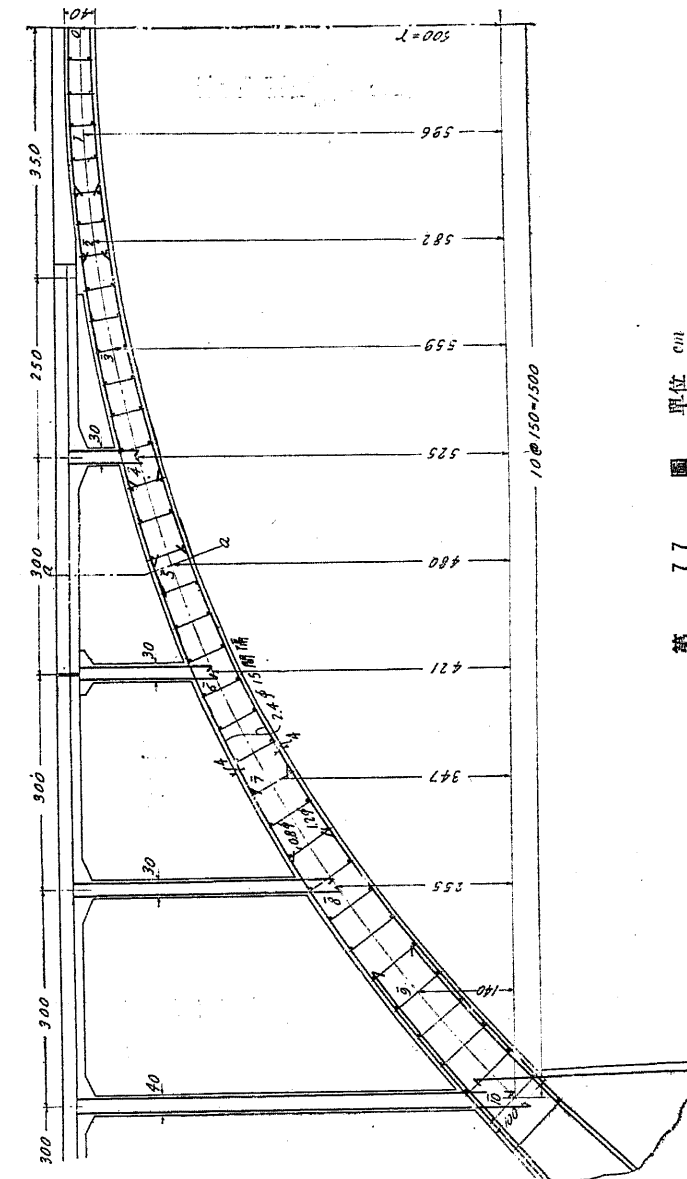
$$\sigma_s = \frac{15 \cdot 35,4}{23,4} \left[16 + \frac{40}{2} - 23,4 \right] = 439,1 \text{ kg/cm}^2$$

2 最大軸壓力を生ずる場合

$$N = 60046 \text{ kg} \quad M = 991 \text{ mkg} \quad e = 1,7 \text{ cm}$$



第 746 図 位單 cm



公式 69 に依り

$$\begin{aligned}\sigma_c &= \frac{N}{bh+2nA_s} + \frac{Ne \cdot 0,5 h}{\frac{b^3}{12} + 2nA_s a^2} \\ &= \frac{60046}{100 \cdot 40 + 2 \cdot 15 \cdot 30,13} + \frac{60046 \cdot 1,7 \cdot 0,5 \cdot 40}{\frac{100 \cdot 40^3}{12} + 2 \cdot 15 \cdot 30,13 \cdot 16^2} \\ &= 12,2 + 2,6 = 14,8 \text{ kg/cm}^2\end{aligned}$$

XIV 假定断面に付いて 上記計算に依ると拱頂の應力強度は許容強度に近く起拱點の應力強度は許容應力の約 $1/2$ に過ぎない。之れは起拱點に於ける斷面厚の假定過大なりし結果である。從て(XI)に算定せる彎曲率、軸壓力に依り大體の起拱點の斷面寸法を定め再び全計算を繰返へさねばならない。單に鐵筋量のみ過大又は過小なりしため之を變更せる場合は彎曲率、軸壓力は前回に求めたるものと其のまゝ用ひ、之が算定を繰返す必要はない。鐵筋量多少の變更是影響線に影響する處極めて微量であるためである。

XV 鐵筋の配置 主鐵筋は直徑 24 mm の丸鋼とし第 746 乃至 747 圖の如く配置す。副鐵筋には直徑 12 mm の丸鋼を使用し、スターラップ設置の位置に $40 \sim 50 \text{ cm}$ 間隔に配置す。スターラップは計算上不要なれども上下鐵筋を連結するため $50 \sim 40 \text{ cm}$ 間隔に設ける。尙ほ起拱點に於ては主鐵筋を橋臺中に充分に埋込み橋臺と拱環の連結を完全にする。

XVI 床構の伸縮接合 は § 704 に述べたる如く彈性重心を通る水平線と拱環軸の交點附近、即ち分格點 G に在る支壁上に設ける。此の外床構主桁の拱頂に近き端及起拱點に最も近き支間外に在る支柱上にも伸縮接合を設ける。

第四節 二鉄拱及三鉄拱の理論

A. 二鉄拱の理論

§ 721 記號及符號 (第 748 圖参照)

l = 支 間

r = 拱 矢

x, y = 夫々左支點 A を原點とする場合の任意断面 D の横距及縦距

P = 下向の鉛直荷重

a = P の 橫 距

H = 鉛直荷重のみに依る支點 A, B の水平推力

V_B = 夫々支點 A, B の鉛直反力

M_x = 任意断面 D の彎曲率

M_s = 拱を之と同支間の單桁と看做したるときの任意断面 D の彎曲率

N_x = 任意断面 D に作用する軸壓力

A_x = 任意断面 D の断面積

A_v = 拱環の平均断面

I_x = A_x の二次率

I_c = 拱頂断面の二次率

E_c = コンクリートの彈性係数

E_s = 鋼の彈性係数

φ_x = 任意断面 D の中心角

Δl = 支點の一方が移動し得るものと看做したるときの支間長の伸長又は短縮量

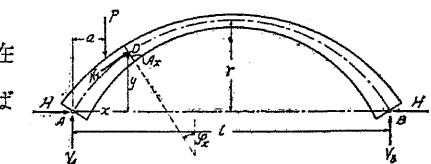
d_s = 拱環の一分格長

符號は § 708 に同じ

§ 722 支點反力、任意断面の彎曲率、軸壓力及剪力

1 鉛直反力。二鉄拱に於ては鉄の位置に於ける彎曲率は零であるから水平推力及鉛直反力は鉄の中心を通る。

第 748 圖の如く鉄が同一水平線上に在る場合に於て力率の中心を B に取れば水平推力に因る力率は零である即ち



$$V_A l - P(l-a) = 0$$

$$\left. \begin{aligned} \therefore V_A &= P \frac{l-a}{l} \\ \text{同様にして } V_B &= P \frac{a}{l} \end{aligned} \right\} \quad (760)$$

公式 760 に依りて明かなる如く鉛直反力は全く單桁の反力に等しいものである。

2 水平反力。(水平推力 H)

一物體に作用する水平力の代數和は零である。今第 748 圖に於て支點 A, B の

$$\left. \begin{array}{l} \text{公式762と共に使用する場合 } H_t = - \frac{\alpha t E_c l}{\int_0^l \frac{y^2}{I_x} ds + \int_0^l \frac{\cos^2 \varphi_x}{A_x} ds} a \\ \text{公式763と共に使用する場合 } = - \frac{\alpha t E_c l}{\int_0^l \frac{y^2}{I_x} ds + \frac{l}{A_v}} b \\ \text{公式764と共に使用する場合 } = - \frac{\alpha t E_c \frac{l}{\Delta x}}{\sum y v + \sum \frac{\cos^2 \varphi_x}{A_x}} c \end{array} \right\} \dots (767)$$

此處に α = 膨脹係数

t = 溫度變化度 (+……溫度上昇 —……溫度低下)

Δx = 一分格長

2 溫度變化に因る任意断面の彎曲率 M_{tx} は

$$M_{tx} = H_t y \dots (768)$$

である。

§ 724 水平推力及任意断面に於ける彎曲率の影響線

1 水平推力 H の影響線は公式 763 ~ 765 に於て M_s を単位荷重に付いて求めれば無鉄拱の場合と全く同様にして求め得る。只無鉄拱の場合は M_s が突桁の彎曲率であつたが、二鉄拱に於ては M_s が單桁の彎曲率であるだけの相違である。今

x, y = 影響線の縦距を求める断面の縦横距 (原點は左支點)

a = 単位荷重と左支點との水平距離

とせば M'_s = 単位荷重に依る (x, y) 點の彎曲率

$$\left. \begin{array}{l} M'_s = \frac{l-x}{l} a \dots \text{単位荷重が } (x, y) \text{ 點の左に在るとき} \\ = \frac{l-a}{l} x \dots \text{単位荷重が } (x, y) \text{ 點の右に在るとき} \end{array} \right\} \dots (769)$$

であるからこれを應用して水平推力 H を求める。

2 任意断面の彎曲率の影響線 M'_s 。

H' = 単位荷重に因る水平推力

$$\left. \begin{array}{l} \text{とせば } M'_s = H' y + \frac{l-x}{l} a \quad \text{単位荷重が } (x, y) \text{ 點の左に在るとき} \\ = H' y + \frac{l-a}{l} x \quad \text{単位荷重が } (x, y) \text{ 點の右に在るとき} \end{array} \right\} \dots (770)$$

である。

§ 725 抛物線形二鉄拱の理論

拱環軸の形狀を二次抛物線。即ち

$$y = \frac{4r}{l^2} (lx - x^2) \quad \left. \begin{array}{l} \\ \text{原點は左支點} \end{array} \right\} \dots (771)$$

とし尚ほ $I_x \cos \varphi_x = I_c$ と假定せば二鉄拱の不静定値 H は簡単に求め得る。此の場合拱環厚は $I_x \cos \varphi_x = I_c$ に適合する様に定める。即ち公式 752 に於て $n = 1$ の場合である。

1 水平推力 H 公式 763 の分母子に I_c を乗すれば

$$H = - \frac{\int_0^l M_s y \frac{I_c}{I_x} ds}{\int_0^l y^2 \frac{I_c}{I_x} ds + \frac{I_c l}{A_v}} \dots (772)$$

であつて、 $\frac{I_c}{I_x} = \cos \varphi_x$ であり、又分格長 ds の水平線への正射影を dx とせば $ds \cos \varphi_x = dx$ である。之等の値を公式 7.2 に代入せば

$$H = - \frac{\int_0^l M_s y dx}{\int_0^l y^2 dx + \frac{I_c l}{A_v}} \dots (773)$$

となる。然るに y の値は公式 771 の如き値であるから

$$\int_0^l y^2 dx + \frac{I_c l}{A_v} = \frac{8}{15} r^2 l + \frac{I_c l}{A_v}$$

從て公式 773 より

$$H = - \frac{\int_0^l M_s y dx}{\frac{8}{15} r^2 l + \frac{I_c l}{A_v}} \dots (774)$$

とすればフツク氏の法則に依り（第750圖参照）

$$\Delta l' = \frac{H}{A_s E_s} l$$

然るに $\Delta l'$ は支間の伸長量であるから公式 762 の $\Delta l = \Delta l'$ と置けば

$$\int_0^l \frac{M_s y}{E_c I_x} ds + H \int_0^l \frac{y^2 ds}{E_c I_x} + H \int_0^l \frac{\cos^2 \varphi_x}{EA_x} ds = - \frac{Hl}{A_s E_s}$$

$$\int_0^l \frac{\cos^2 \varphi_x}{EA_x} ds = \frac{l}{E_c A_v} \quad \text{とし } H \text{ を求むれば}$$

$$H = - \frac{\frac{1}{E_c} \int_0^l \frac{M_s y}{I_x} ds}{\frac{1}{E_c} \int_0^l \frac{y^2}{I_x} ds + \frac{l}{E_c A_v} + \frac{l}{E_s A_s}} \quad \dots \dots \dots (781)$$

$$\frac{E_s}{E_c} = n \text{ とせば}$$

$$H = - \frac{\int_0^l \frac{M_s y}{I_x} ds}{\int_0^l \frac{y^2}{I_x} ds + \frac{l}{A_n} + \frac{l}{n A_s}} \quad \dots \dots \dots (782)$$

3 任意断面の弯曲率及影響線は繊材を有せざる場合と全く同様にして求め得る。

繊材を有する拱に於ては下部構造は全く水平推力を受けぬものであるから、第750圖に示す如く一支點を鉸端とし、他の支點は鉸を有すると同時に水平移動自由なる構造としなければならぬ。若し之れの水平移動が自由でなければ下部構造は水平推力を受け危険である。

4 溫度變化。コンクリートと鋼材の膨脹係数は等しい故に、拱環及繊が材共に同一の溫度變化を受くるときは拱環長の變化に依る支間長の變化と、繊材長の變化は全く等量である。従つて溫度變化に因りては拱環及繊材内に應力を生じない。

B 三鉸拱の理論

§ 727 三鉸拱の支點反力 三鉸拱は靜定構造であるから支點反力は各鉸の位

置に於ける弯曲率を零と置いて容易に求めることが出来る。尙ほ兩支點に於ける水平推力は二鉸拱の場合と同様にその大きさは相等しい。第751圖の如き對稱三鉸拱に於て、一つの鉸が拱頂に在る場合の支點反力を求むれば次の如し。

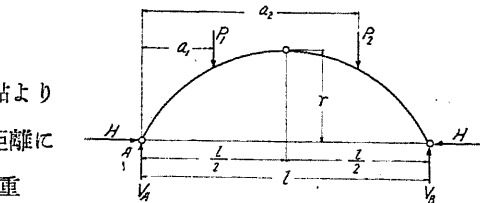
$$l = \text{支間}$$

$$r = \text{拱矢}$$

$$P_1, P_2 = \text{夫々 } A \text{ 支點より}$$

$$a_1, a_2 \text{ なる距離に}$$

$$\text{在る鉛直荷重}$$



$$V_A, V_B = \text{夫々支點 } A, B \text{ の鉛直反力}$$

$$H = \text{支點 } A, B \text{ の水平推力 (三鉸拱の場合に限り内側に向ふ水平推力を (+) とする)}$$

A, B, C 點に於ける力率を零と置けば

$$V_A l - P_1(l - a_1) - P_2(l - a_2) = 0$$

$$V_B l - P_1 a_1 - P_2 a_2 = 0$$

$$V_A \frac{l}{2} - H r - P_1 \left(\frac{l}{2} - a_1 \right) = 0$$

之より H, V_A, V_B の値を求むれば

$$V_A = \frac{1}{l} [P_1(l - a_1) + P_2(l - a_2)]$$

$$V_B = \frac{1}{l} (P_1 a_1 + P_2 a_2)$$

$$H = - \frac{1}{2r} [P_1 a_1 + P_2(l - a_2)]$$

支點反力を求むれば任意断面の弯曲率、軸壓力、剪力は無鉸拱、二鉸拱と同様の方法にて算出し得るを以て此處には略す。——(完)——

第751圖

$$\left. \begin{aligned} &V_A = \frac{1}{l} [P_1(l - a_1) + P_2(l - a_2)] \\ &V_B = \frac{1}{l} (P_1 a_1 + P_2 a_2) \\ &H = - \frac{1}{2r} [P_1 a_1 + P_2(l - a_2)] \end{aligned} \right\} \quad \dots \dots \dots (783)$$